

日 本 国 特 許 庁
JAPAN PATENT OFFICE

別紙添付の書類に記載されている事項は下記の出願書類に記載されている事項と同一であることを証明する。

This is to certify that the annexed is a true copy of the following application as filed with this Office.

出 願 年 月 日 2 0 0 3 年 3 月 2 8 日
Date of Application:

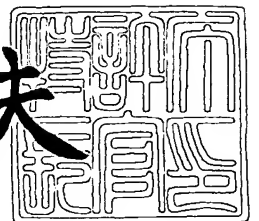
出 願 番 号 特 願 2 0 0 3 - 0 9 2 8 5 8
Application Number:
[ST. 10/C] : [J P 2 0 0 3 - 0 9 2 8 5 8]

出 願 人 富 士 通 株 式 有 限 公 司
Applicant(s):

2 0 0 3 年 7 月 3 1 日

特許庁長官
Commissioner,
Japan Patent Office

今 井 康 夫



出証番号 出証特 2 0 0 3 - 3 0 6 1 2 8 9

【書類名】 特許願

【整理番号】 0350729

【提出日】 平成15年 3月28日

【あて先】 特許庁長官 太田 信一郎 殿

【国際特許分類】 H05M 1/02

【発明の名称】 折り畳み式携帯型無線機および当該無線機のシャーシ

【請求項の数】 10

【発明者】

【住所又は居所】 神奈川県川崎市中原区上小田中 4 丁目 1 番 1 号 富士通株式会社内

【氏名】 金澤 賢

【発明者】

【住所又は居所】 北海道札幌市北区北七条西四丁目 3 番地 1 富士通東日本デジタル・テクノロジー株式会社内

【氏名】 山下 芳幸

【発明者】

【住所又は居所】 神奈川県川崎市中原区上小田中 4 丁目 1 番 1 号 富士通株式会社内

【氏名】 殿岡 旅人

【発明者】

【住所又は居所】 北海道札幌市北区北七条西四丁目 3 番地 1 富士通東日本デジタル・テクノロジー株式会社内

【氏名】 森 雅朋

【発明者】

【住所又は居所】 神奈川県川崎市中原区上小田中 4 丁目 1 番 1 号 富士通株式会社内

【氏名】 高木 久光

【特許出願人】**【識別番号】** 000005223**【氏名又は名称】** 富士通株式会社**【代理人】****【識別番号】** 100070150**【住所又は居所】** 東京都渋谷区恵比寿4丁目20番3号 恵比寿ガーデン
プレイスタワー32階**【弁理士】****【氏名又は名称】** 伊東 忠彦**【電話番号】** 03-5424-2511**【先の出願に基づく優先権主張】****【出願番号】** 特願2002-274342**【出願日】** 平成14年 9月20日**【手数料の表示】****【予納台帳番号】** 002989**【納付金額】** 21,000円**【提出物件の目録】****【物件名】** 明細書 1**【物件名】** 図面 1**【物件名】** 要約書 1**【包括委任状番号】** 0114942**【プルーフの要否】** 要

【書類名】 明細書

【発明の名称】 折り畳み式携帯型無線機および当該無線機のシャーシ

【特許請求の範囲】

【請求項 1】 第 1 シャーシと、前記第 1 シャーシが折り畳み可能に連結される第 2 シャーシとから成るシャーシ部を備えた折り畳み式携帯型無線機において、

前記シャーシ部は、導電性を有し全長が当該無線機の使用周波数の略半波長（ $\lambda/2$ ）である導体部と、電氣的ノッチとを含むことを特徴とする折り畳み式携帯型無線機。

【請求項 2】 前記電氣的ノッチ側にアンテナが備えられていることを特徴とする請求項 1 記載の折り畳み式携帯型無線機。

【請求項 3】 前記電氣的ノッチは、当該無線機の使用周波数の略四分の一波長（ $\lambda/4$ ）の幅を有することを特徴とする請求項 1 記載の折り畳み式携帯型無線機。

【請求項 4】 導電性を有する第 1 シャーシと、
ヒンジ機構部によって前記第 1 シャーシが折り畳み可能に連結され導電性を有する第 2 シャーシと、を備える折り畳み式携帯型無線機において、

前記ヒンジ機構部は、前記第 1 シャーシと前記第 2 シャーシとを導通させる部分と導通させない部分とを有し、

前記第 1 シャーシ及び前記第 2 シャーシの全長は、当該無線機の使用周波数の略半波長（ $\lambda/2$ ）であることを特徴とする折り畳み式携帯型無線機。

【請求項 5】 前記ヒンジ機構部において、前記第 1 シャーシと前記第 2 シャーシとを導通させる部分と前記ヒンジ機構部の前記第 1 シャーシと前記第 2 シャーシとを導通させない部分との間の長さは、当該無線機の使用周波数の略四分の一波長（ $\lambda/4$ ）であることを特徴とする請求項 4 記載の折り畳み式携帯型無線機。

【請求項 6】 前記第 2 シャーシと一定の間隔を形成しつつ、
前記ヒンジ機構部の前記第 1 シャーシと前記第 2 シャーシとを導通させる部分から前記第 1 シャーシと前記第 2 シャーシとを導通させない部分に向って、導電

部材が延設されていることを特徴とする請求項 4 又は 5 項記載の折り畳み式携帯型無線機。

【請求項 7】 前記第 1 シャーシと前記第 2 シャーシとを結線し、当該無線機の使用周波数の略半波長 ($\lambda/2$) の全長を有する同軸線路を更に備えることを特徴とする請求項 4 乃至 6 いずれか一項記載の折り畳み式携帯型無線機。

【請求項 8】 内部にプリント配線板を搭載し導電性を有する第 1 シャーシを備えた第 1 筐体と、

内部にプリント配線板を搭載し導電性を有する第 2 シャーシを備えた第 2 筐体と、

前記第 1 筐体を前記第 2 筐体に対し開いた状態において、前記第 1 筐体の背面に伸長可能であって、前記第 2 筐体の左右何れかの側に取り付けられたアンテナと、を備えた折り畳み式携帯型電話機において、

前記アンテナは、前記第 2 シャーシに搭載された前記プリント配線板の給電回路から給電を受け、

前記第 1 シャーシと前記第 2 シャーシとは、左右に設けられた連結部を介して接続されており、

前記アンテナが位置している側の前記連結部は、前記第 1 シャーシと前記第 2 シャーシとを電氣的に非接続とし、他の側の前記連結部は、前記第 1 シャーシと前記第 2 シャーシとを電氣的に接続し、

当該無線機の全長は使用周波数の略半波長 ($\lambda/2$) であることを特徴とする折り畳み式携帯型無線機。

【請求項 9】 内部にプリント配線板を搭載し導電性を有する第 1 シャーシを備えた第 1 筐体と、

内部にプリント配線板を搭載し導電性を有する第 2 シャーシを備えた第 2 筐体と、を備えた折り畳み式携帯型電話機において、

前記第 1 シャーシと前記第 2 シャーシとは、左右に設けられた第 1 連結部及び第 2 連結部を介して物理的に接続され、

前記第 1 連結部は、前記第 1 シャーシと前記第 2 シャーシとを電氣的に接続し、前記第 2 連結部は、前記第 1 シャーシと前記第 2 シャーシとを電氣的に非接続

とし、

前記第 1 筐体を前記第 2 筐体に対し開いた状態における当該無線機の全長は第 1 使用周波数の略半波長 ($\lambda_1/2$) であり、

前記第 1 連結部と前記第 2 連結部との間の長さは、当該無線機の第 2 使用周波数の略四分の一波長 ($\lambda_2/4$) であり、

前記第 1 シャーシと、前記第 2 シャーシと、前記第 1 連結部と、前記第 2 連結部とが当該折り畳み式携帯型無線機の内蔵アンテナとして、前記第 1 使用周波数及び前記第 2 使用周波数の無線の送受信をすることを特徴とする折り畳み式携帯型無線機。

【請求項 10】 折り畳み式携帯型無線機に内装されるシャーシであって、当該シャーシは、第 1 シャーシ及び第 2 シャーシから構成され、前記第 1 シャーシ及び前記第 2 シャーシを連結する複数の接合部が前記第 1 シャーシ及び前記第 2 シャーシに設けられ、

前記第 1 シャーシの一の接合部と接触する前記第 2 シャーシの一の接合部の面は、非導電材料のみから成ることを特徴とする折り畳み式携帯型無線機のシャーシ。

【発明の詳細な説明】

【0001】

【発明の属する技術分野】

本発明は折り畳み式携帯型無線機および当該無線機のシャーシに関し、特に、携帯時には折り畳まれ、通話や通信等をする際に開いて使用される構造の折り畳み式携帯型無線機および当該無線機のシャーシに関する。

【0002】

【従来の技術】

折り畳み式携帯型電話機等の折り畳み式携帯型無線機は、携帯時には折り畳まれているが、通話や通信等する際には開かれ、必要に応じて内蔵されている外部アンテナを伸ばして使用される。

【0003】

図 1 は、従来の折り畳み式携帯型電話機の分解斜視図である。図 1 を参照する

に、従来の折り畳み式携帯型電話機 10 は、ユーザの手に保持されるダイヤル操作キー側部分 11 と、開閉される液晶側部分 12 と、折り畳み式携帯型電話機 10 の左および右に設けられダイヤル操作キー側部分 11 と液晶側部分 12 を連結する左ヒンジ機構部 13 a 及び右ヒンジ機構部 13 b 等を有する。

【0004】

ダイヤル操作キー側部分 11 は、板部 20 と下部筐体 21 とが組み合わされて成り、プリント基板モジュール 22 が取り付けられた下部シャーシ 23 が内部に組み込まれている。液晶側部分 12 は、板部 30 と上部筐体 31 とが組み合わされて成り、プリント基板モジュール 32 が取り付けられた上部シャーシ 34 が内部に組み込まれている。

【0005】

左ヒンジ機構部 13 a 及び右ヒンジ機構部 13 b は、夫々、ダイヤル操作キー側部分 11 の板部 20 の端から突き出ている円弧部 23 および液晶側部分 12 の板部 30 の端から突き出ている円弧部 33 によって覆われている。

【0006】

また、ダイヤル操作キー側部分 11 のプリント基板モジュール 22 と、液晶側部分 12 のプリント基板モジュール 32 は、途中の箇所でカールを形成しているフレキシブルプリント基板 40 によって接続されている。更に、ダイヤル操作キー側部分 11 の下部筐体 21 には、アンテナ 45 が伸縮自在に収納されている。下部筐体 21 の下面には、バッテリーパック 46 が装着される。

【0007】

ところで、上部シャーシ 34 および下部シャーシ 23 は金属が蒸着された樹脂製の成形品である。また、左ヒンジ機構部 13 a 及び右ヒンジ機構部 13 b は、双方とも金属が蒸着されてダイヤル操作キー側部分 11 と液晶側部分 12 は導通している又は、双方とも金属が蒸着されずにダイヤル操作キー側部分 11 と液晶側部分 12 は導通していない。

【0008】

図 2 は、図 1 に示す従来の折り畳み式携帯型電話機 10 の閉じたときの上部シャーシ 34 及び下部シャーシ 23 の状態を示す概略図であって、図 2 (a) は、

図 1 における Y 1 - Y 2 方向から見た図であり、図 2 (b) は、図 1 における X 2 - X 1 方向から見た図である。

【 0 0 0 9 】

図 1 及び図 2 を参照するに、折り畳み式携帯型電話機 1 0 を携帯等する場合は、内部に上部シャーシ 3 4 を備える上部筐体 3 1 を、内部に下部シャーシ 2 3 を備える下部筐体 2 1 に対して閉じて使用する。この場合、図 2 に示すように、アンテナ 4 5 を伸ばしても、上部シャーシ 3 4 は、アンテナ 4 5 による電波の放射および吸収の障害とはならない。

【 0 0 1 0 】

なお、従来の携帯通信端末用アンテナにおいては、アンテナが人体から 2 0 m m 離して保持された状態で、プレートアンテナの利得が従来の半波長ダイポールアンテナの利得より I M T - 2 0 0 0 システムの全周波数帯域 (1 9 2 0 ~ 2 1 7 0 M H z) で 2 . 5 d B 以上高くできる構成としているものがある (例えば、特許文献 1 参照)。

【 0 0 1 1 】

また、従来においては、開状態では第 1 の筐体及び第 2 の筐体に設けられた第 1 及び第 2 の導電性膜によりモノポールアンテナが構成され、閉状態では第 2 の導電性膜は設地面として動作する折り畳み式移動電話機もある (例えば、特許文献 2 参照)。

【 0 0 1 2 】

更に、従来においては、通常操作状態ではモノポールとして機能し、待機状態ではスロットアンテナとして機能する折り畳み式移動電話機用アンテナもある (例えば、特許文献 3 参照)。

【 0 0 1 3 】

また、従来においては、互いに分離した 2 つの十分な幅を備える通過帯域が存在し、この 2 つの帯域の中央周波数間の比が高く、この 2 つの中央周波数の各々が他方を殆ど損なわずに調整可能な、共振構造を重ねた小型アンテナもある (例えば、特許文献 4 参照)。

【 0 0 1 4 】

【特許文献 1】

特開 2002-246821 号公報

【0015】

【特許文献 2】

特開 2000-216611 号公報

【0016】

【特許文献 3】

特開平 11-317610 号公報

【0017】

【特許文献 4】

特開 2001-77623 号公報

【0018】

【発明が解決しようとする課題】

しかしながら、通信または通話等をするために、折り畳み式携帯型電話機 10 を開いてアンテナ 45 を伸ばして使用する場合には、電波の放射および吸収にあたり以下の問題がある。

【0019】

図 3 は、図 1 に示す従来の折り畳み式携帯型電話機 10 を開いたときの上部シャーシ 34 及び下部シャーシ 23 の状態を示す概略構成図であって、図 3 (a) は、図 1 における Y1-Y2 方向から見た図であり、図 3 (b) は、図 1 における X2-X1 方向から見た図である。

【0020】

図 1 及び図 3 を参照するに、通信や通話等をする場合には、内部に上部シャーシ 34 を備える上部筐体 31 を、内部に下部シャーシ 23 を備える下部筐体 21 に対して回動し、折り畳み式携帯型電話機 10 を開いて、アンテナ 45 を伸ばして使用する。

【0021】

この場合、図 3 に示すように、アンテナ 45 の直ぐ横に上部シャーシ 34 が位置するため、上部シャーシ 34 は、アンテナ 45 が電波を放射および吸収するに

あたり、障害物となる。従って、アンテナ 45 の利得が悪化し放射効率が劣化してしまい、従来の折り畳み式携帯型電話機 10 では、高品質の通話や通信等を行うことが困難であった。

【0022】

また、図 1 乃至図 3 に示される折り畳み式携帯型電話機 10 に代表される従来の携帯型無線機においては、一般に、ヘリカルアンテナやモノポールアンテナ等の外部アンテナ、又は、チップアンテナ、板金アンテナ、パッチアンテナ等の内蔵アンテナが設置されている。更に、近年の通信態様の多機能化により、携帯型無線機においてブルートゥース (Bluetooth) や無線 LAN 等への適用を可能とすべく、送受信における夫々の周波数に対応したアンテナを備えることが必要となり、夫々のアンテナを実装するためのスペースが求められる。また、折り畳み式携帯型無線機においては、一層の小型化や軽量化が求められている。しかしながら、従来の携帯型無線機の構造では、通信の多機能化と携帯型無線機に求められる小型化や軽量化との双方の要求に応えることは困難であった。

【0023】

そこで、本発明の目的は、上記問題に鑑みてなされたものであり、折り畳み式携帯型無線機であって、簡易な構造で効率よく電波を放射および吸収することを可能とし、高品質の通話や多機能化した通信等に対応できる当該無線機および当該無線機に使用されるシャーシを提供することにある。

【0024】

【課題を解決するための手段】

上記目的は、第 1 シャーシと、前記第 1 シャーシが折り畳み可能に連結される第 2 シャーシとから成るシャーシ部を備えた折り畳み式携帯型無線機において、

前記シャーシ部は、導電性を有し全長が当該無線機の使用周波数の略半波長 ($\lambda/2$) である導体部と、電氣的ノッチとを含むことを特徴とする折り畳み式携帯型無線機により達成される。

【0025】

前記電氣的ノッチ側にアンテナが備えられていてもよい。また、前記電氣的ノッチは、当該無線機の使用周波数の略四分の一波長 ($\lambda/4$) の幅を有していて

もよい。

【0 0 2 6】

また、上記目的は、折り畳み式携帯型無線機に内装されるシャーシであって、当該シャーシは、第 1 シャーシ及び第 2 シャーシから構成され、前記第 1 シャーシ及び前記第 2 シャーシを連結する複数の接合部が前記第 1 シャーシ及び前記第 2 シャーシに設けられ、前記第 1 シャーシの一の接合部と接触する前記第 2 シャーシの一の接合部の面は、非導電材料のみから成ることを特徴とする折り畳み式携帯型無線機のシャーシによっても達成される。

【0 0 2 7】

【発明の実施の形態】

以下、図面に基づいて本発明の実施形態を説明する。なお、以下の実施形態では、本発明の折り畳み式携帯型無線機および当該無線機のシャーシの一例として、折り畳み式携帯型電話機および当該電話機のシャーシについて説明をする。

【0 0 2 8】

〔第 1 の実施形態〕

図 4 は、本発明の第 1 の実施形態に係る折り畳み式携帯型電話機を開いた状態における外観を示す図であって、図 4（a）は斜視図であり、図 4（b）は平面図であり、図 4（c）は側面図である。

【0 0 2 9】

図 4 を参照するに、本発明の第 1 の実施形態に係る折り畳み式携帯型電話機 1 0 0 の外観は、操作キー部分 1 0 1 と、液晶表示部分 1 0 2 と、操作キー部分 1 0 1 と液晶表示部分 1 0 2 とを連結する連結部 1 0 3 等から構成される。

【0 0 3 0】

操作キー部分 1 0 1 は、電話番号等を入力する入力キー 1 1 0 を搭載する入力キー板 1 1 1 と、後述する第 1 プリント基板モジュール 1 1 7（図 1 2 参照）等を内蔵する下部筐体 1 1 2 との組み合わせから成る。入力キー板 1 1 1 の下部には、通話時のユーザの音声を集音するマイク 1 1 4 が設けられている。更に、下部筐体 1 1 2 の内部であって右側には、送受信用のホイップアンテナ 1 5 0 が伸長可能な状態で取り付けられている。

【0031】

液晶表示部分102は、待ち受け画面や発・着電話番号等を表示する液晶ディスプレイ152を搭載する液晶ディスプレイ板153と、後述する第2プリント基板モジュール157（図12参照）等を内蔵する上部筐体154との組み合わせから成る。液晶ディスプレイ板153の上部には、通話の相手の音声を出力するスピーカ155が設けられている。また、操作キー部分101の下面には電源部としてバッテリーパック105が装着されている。

【0032】

携帯時（待ち受け時、非通信時等）には、液晶表示部分102が操作キー部分101に折り畳まれているが、通信又は通話等を行う際には、操作キー部分101がユーザの手に保持され、液晶表示部分102を、連結部103を中心に手動で回動して折り畳み式携帯型電話機100を開き、アンテナ150を下部筐体112から伸ばして、折り畳み式携帯型電話機100が使われる。

【0033】

また、折り畳み式携帯型電話機100の全長（折り畳み式携帯型電話機100の縦方向の長さ）、即ち、図4（b）に示す長さ1は、使用周波数の波長（以下、波長を「 λ 」とする）の略1/2に相当するように設定されている。

【0034】

ところで、給電線からアンテナに効率よくエネルギーを供給するために用いられる整合方法としてガンマ整合がある。

【0035】

図5は、ガンマ整合を説明するための図である。図5を参照するに、導体のアンテナ50は、全長が略 $\lambda/2$ であり、同軸ケーブル51によって給電される。同軸ケーブル51の外部導体51aは、アンテナ50の略中央に接続される。

【0036】

また、同軸ケーブル51の内部導体51bは、コンデンサCを介して、導体の第1接続部52の一端に接続される。第1接続部52の他端は、第2接続部55の一端に接続している。第2接続部55の他端は、アンテナ50に接続している。なお、図5中、 d_1 はアンテナ50の直径、 d_2 は第1接続部52の直径、S

は第 2 接続部 5 5 の長さ、 L は同軸ケーブル 5 1 から第 2 接続部 5 5 までの長さを示す。

【 0 0 3 7 】

図 6 は、図 5 に示すガンマ整合における入力インピーダンスの変化の様子を示したグラフである。図 6 を参照するに、グラフの縦軸は入力インピーダンスを、横軸は同軸ケーブル 5 1 から第 2 接続部 5 5 までの長さ L と $\lambda/4$ との比を示す。

【 0 0 3 8 】

図 6 (a) に示すグラフは、図 5 における第 2 接続部 5 5 の長さ S および第 1 接続部 5 2 の直径 d_2 が一定の場合における入力インピーダンスの変化の様子を示す。

【 0 0 3 9 】

図 6 (a) に示すグラフを参照するに、実線で示す曲線 (1) は、第 1 接続部 5 2 の直径 d_2 とアンテナ 5 0 の直径 d_1 との比 d_2/d_1 が大きい場合の抵抗分の入力インピーダンスを、実線で示す曲線 (2) は、 d_2/d_1 が小さい場合の抵抗分の入力インピーダンスを示す。点線で示す曲線 (3) は、 d_2/d_1 が大きい場合のリアクタンス分の入力インピーダンスを、点線で示す曲線 (4) は、 d_2/d_1 が小さい場合のリアクタンス分の入力インピーダンスを示す。

【 0 0 4 0 】

図 6 (b) に示すグラフは、図 5 におけるアンテナ 5 0 の直径 d_1 、第 1 接続部 5 2 の直径 d_2 、及び第 1 接続部 5 2 の直径とアンテナ 5 0 の直径との比 d_2/d_1 が一定の場合における入力インピーダンスの変化の様子を示す。

【 0 0 4 1 】

図 6 (b) に示すグラフを参照するに、実線で示す曲線 (1) は第 2 接続部 5 5 の長さ S が小さい場合の抵抗分の入力インピーダンスを、実線で示す曲線 (2) は第 2 接続部 5 5 の長さ S が大きい場合の抵抗分の入力インピーダンスを示す。点線で示す曲線 (3) は第 2 接続部 5 5 の長さ S が小さい場合のリアクタンス分の入力インピーダンスを、点線で示す曲線 (4) は、第 2 接続部 5 5 の長さ S が大きい場合の分の入力インピーダンスを示す。

【0042】

図6に示すように、コンデンサC（図5参照）の容量、アンテナ50（図5参照）の直径 d_1 、第1接続部52（図5参照）の直径 d_2 、第2接続部55（図5参照）の長さS、同軸ケーブル51（図5参照）から第2接続部55までの長さLを調整することによって、入力インピーダンスが広範囲に変化する。

【0043】

従って、上述の長さL、長さS、コンデンサCの値を選択することによって、同軸ケーブル51のインピーダンス 50Ω と同じ値のインピーダンスになるようにインピーダンス整合を図ることが出来る。

【0044】

本出願の発明者は、長さLが略 $\lambda/4$ で、長さSが λ に対して十分小さい値（例えば、 $\lambda/10$ 以下程度）で、コンデンサCがアンテナ50の入力インピーダンスのインダクティブ・リアクタンス分を打ち消す容量値である場合に、同軸ケーブル51と、全長が略 $\lambda/2$ に相当するアンテナ50とのインピーダンス整合を図ることが出来ることを見出した。

【0045】

ところで、ガンマ整合を説明するための図5は、図7および図8に示すように書き直すことが出来る。図7は、図5に示すガンマ整合の変形図であり、図5と等価である。図8は、図7に示すガンマ整合の変形図であり、図5および図7と等価である。

【0046】

図8を参照するに、本出願の発明者は、長さSが λ に対して十分小さい値（例えば、 $\lambda/10$ 以下程度）で、コンデンサCがアンテナ50の入力インピーダンスのインダクティブ・リアクタンス分を打ち消す容量値で、長さWがアンテナ50に対して影響を与えない長さ（例えば、 $\lambda/4$ 以下程度）で、長さLが長さWよりも短い長さである場合に、同軸ケーブル51と同じインピーダンスになるように整合を図ることが出来ることを見出した。

【0047】

なお、図6に示されるように、長さLが短い場合は抵抗分が小さくなりアンテ

ナの放射特性が劣化するので、長さLにあつては、 $\lambda/10$ 以上は必要とされる。但し、必ずしも直線である必要はなく、例えば、直角に曲がっていてもよい。

【0048】

本出願の発明者は更に、周波数が900MHz帯の場合および1.5GHz帯の場合に、長さL、長さW、長さSおよびコンデンサCの値を、夫々、以下の表1に示すように設定した場合に、表1中に示す優れた放射効率(dB)を得ることが出来ることを見出した。

【0049】

【表1】

	周波数	
	900MHz帯	1.5GHz帯
$\lambda/2$ (mm)	170	100
L (mm)	37	20
W (mm)	47	23.5
S (mm)	10	5
C (pF)	0.5	0.25
放射効率 (dB)	0.5	-0.3

周波数が900MHz帯であつて、長さL、長さW、長さSおよびコンデンサCの値を表1に示すように設定した場合のインピーダンス特性を表したグラフを図9に示す。

【0050】

また、周波数が900MHz帯であつて、長さW、長さSおよびコンデンサCの値を表1に示すように設定し、長さLを0（ゼロ）とした場合のインピーダンス特性を表したグラフを図10に示す。

【0051】

更に、周波数が1.5GHz帯であつて、長さL、長さW、長さSおよびコンデンサCの値を表1に示すように設定した場合のインピーダンス特性を表したグラフを図11に示す。

【0052】

図9乃至図11を参照するに、横軸は周波数(MHz)を示す。縦軸はリターン・ロス(dB)、即ち、入力に対して損失した水準を示す。例えば、リターン・ロスが0(ゼロ)dBであれば、入力に対して全て反射されることを意味する。

【0053】

図9に示すグラフにあるように、表1に示す条件下で、周波数が900乃至1000MHzの場合に、リターン・ロスは、-10dB乃至-30dBという良好な値を示し、インピーダンス整合をとれることが分かる。

【0054】

一方、図10に示すグラフにあるように、長さLを0(ゼロ)とした場合は、どの周波数でも、リターン・ロスは0(ゼロ)dBであり、入力に対して全て反射されてしまう。即ち、表1に示す設定を行うことにより、インピーダンス整合をとれることが図9および図10から分かる。

【0055】

また、図11に示すグラフにあるように、表1に示す条件下で、周波数が1.5GHz近傍の場合に、リターン・ロスは、-20dB乃至-30dBという良好な値を示し、インピーダンス整合をとれることが分かる。

【0056】

従って、上述の如く、図4に示す本発明の第1の実施形態に係る折り畳み式携帯型電話機100の全長、即ち、図4(b)に示す長さlを使用周波数の略 $\lambda/2$ に相当する長さとし、更に、折り畳み式携帯型電話機100を、上述のガンマ整合を利用することが出来る構造にすることにより、インピーダンス整合をとることが出来ることが分かる。

【0057】

以下、本発明の折り畳み式携帯型電話機100であって、上述のガンマ整合を利用するための構造を説明する。

【0058】

図12は、図4に示す本発明の第1の実施形態に係る折り畳み式携帯型電話機

100の分解斜視図である。

【0059】

図12を参照するに、液晶表示部分102において、第2プリント基板モジュール157は、第1シャーシとして機能する上部シャーシ300に搭載される。更に、上部シャーシ300は、第1筐体として機能する上部筐体154の内部に設けられる。また、操作キー部分101において、第1プリント基板モジュール117は第2シャーシとして機能する下部シャーシ400に搭載される。下部シャーシ400は、第2筐体として機能する下部筐体112の内部に設けられる。

【0060】

上部シャーシ300は、アルミニウムやニッケル等の金属または、合成樹脂にアルミニウム、ニッケル又はマグネシウム等の金属材料を蒸着したものから構成される。上部シャーシ300と第2プリント基板モジュール157の接地導体パターンとはバネ部材等を介して電氣的に接続されている。

【0061】

上部シャーシ300は、左ヒンジ機構部180及び右ヒンジ機構部190を介して、下部シャーシ400と回動可能に連結される。左ヒンジ機構部180は、左ヒンジ103aと、上部シャーシ300の下部に設けられ第1接合部として機能する左接合部300aと、下部シャーシ400の上部に設けられ第2接合部として機能する左接合部400aとを備える。同様に、右ヒンジ機構部190は、右ヒンジ103bと、上部シャーシ300の下部に設けられた右接合部300bと、下部シャーシ400の上部に設けられた右接合部400bとを備える。

【0062】

左接合部300a及び400aは中空形状を有し、左ヒンジ103aを挿設することができる。また、右接合部300b及び400bは中空形状を有し、右ヒンジ103bを挿設することができる。

【0063】

下部シャーシ400は、アルミニウム、ニッケル又はマグネシウム等の金属または、合成樹脂にアルミニウムやニッケル等の金属材料を蒸着したものから構成される。但し、下部シャーシ400の上部に設けられた右接合部400bは、上

記の金属材料を蒸着していない合成樹脂等の非導電材料から構成される。例えば、右接合部 4 0 0 b をマスクして上記金属材料を合成樹脂に蒸着させて、下部シャーシ 4 0 0 は成形される。

【 0 0 6 4 】

従って、上部シャーシ 3 0 0 と下部シャーシ 4 0 0 が、左ヒンジ機構部 1 8 0 および右ヒンジ機構部 1 9 0 を介して連結されると、左ヒンジ 1 0 3 a が挿設される左接合部 3 0 0 a と左接合部 4 0 0 a との間は導通し、右ヒンジ 1 0 3 b が挿設される右接合部 3 0 0 b と右接合部 4 0 0 b との間は導通されない。

【 0 0 6 5 】

なお、導通している左ヒンジ 1 0 3 a 側において、導通を確実に取るために、上部シャーシ 3 0 0 の下部に設けられた左接合部 3 0 0 a と下部シャーシ 4 0 0 の上部に設けられた左接合部 4 0 0 a との間に、中空形状の接触金具 1 6 0 が挟装されている。

【 0 0 6 6 】

また、図 1 2 に示す折り畳み式携帯型電話機 1 0 0 においては、右接合部 4 0 0 b 全体が非導電材料から構成されている。しかしながら、本発明では、右ヒンジ 1 0 3 b 側が導通しない構造とする限りは、これに限られない。

【 0 0 6 7 】

例えば、下部シャーシ 4 0 0 の上部に設けられた右接合部 4 0 0 b が上部シャーシ 3 0 0 の下部に設けられた右接合部 3 0 0 b と接触する面 1 6 1 のみをマスクして、上記金属材料を合成樹脂に蒸着させて下部シャーシ 4 0 0 を成形し、接触面 1 6 1 のみが非導電材料から構成されるものとしてもよい。

【 0 0 6 8 】

また、上部シャーシ 3 0 0 の下部に設けられた右接合部 3 0 0 b と下部シャーシ 4 0 0 の上部に設けられた右接合部 4 0 0 b との間に非導電性のワッシャー部材等を介在させてもよい。

【 0 0 6 9 】

更に、アンテナ 1 5 0 が、下部筐体 1 1 2 の内部であって右接合部 4 0 0 b 側、即ち、導通していない側に、伸長及び収納可能な状態に取り付けられる。

【0070】

以上より、本発明の折り畳み式携帯型電話機100において、操作キー部分101における上部シャーシ300と液晶表示部分102の下部シャーシ400は、左ヒンジ機構部180および右ヒンジ機構部190を介して機械的には接続されているものの、電気的には左ヒンジ機構部180でのみ導通がとられ、導通がとられていない側（右ヒンジ機構部190側）に、アンテナ150が位置される。

【0071】

なお、アンテナ150は、第1プリント基板モジュール117の裏面の所定の給電面（例えば、図12中、点線で示す部分に位置する面）を介して第1プリント基板モジュール117の給電回路と電気的に接続している。

【0072】

このような構造と上述のガンマ整合との関係を、以下説明する。

【0073】

図13は、図4及び図12に示す折り畳み式携帯型電話機100を開いたときの上部シャーシ300および下部シャーシ400の状態を示す概略図であって、図13（a）は、図4（a）におけるY1-Y2方向から見た図であり、図13（b）は、図4（a）におけるX2-X1方向から見た図である。

【0074】

なお、図13（a）において、上部シャーシ300の下部に設けられた接合部300bと下部シャーシ400の上部に設けられた右接合部400bを点線で示しているが、これは、図12における右ヒンジ機構部190側は導通がとられていないことを模式的に示すものである。また、図13（b）において、矢印は電気容量を示す。

【0075】

図13を参照するに、通信又は通話等するために、折り畳み式携帯型電話機100を開きアンテナ150を伸ばすと、導体のアンテナ150と導体の上部シャーシ300又は第2プリント基板モジュール157との間に電気容量が形成される。

【0076】

右ヒンジ機構部190側、即ち、上部シャーシ300の下部に設けられた右接合部300bと下部シャーシ400の上部に設けられた右接合部400bとの間は導通していないため、上部シャーシ300と下部シャーシ400の間には電氣的ノッチ、即ち、電氣的な切り欠きが形成される。従って、図13に示す電氣的状態は、図14に示すように書き直すことができる。

【0077】

図14において、コンデンサCは、導体のアンテナ150と導体の上部シャーシ300との間に形成される電氣容量を示す。また、斜線部は、上記の電氣的ノッチを示している。

【0078】

図14に示す折り畳み式携帯型電話機100の電氣的状態は、図8に示すガンマ整合回路と等価である。即ち、図4(b)に示すように、折り畳み式携帯型電話機100の全長 l は、使用周波数の略 $\lambda/2$ に相当する長さであり、図14に示すコンデンサCの容量、上部シャーシ300の右端部170から左ヒンジ機構部180までの長さ L 、および左ヒンジ103aによって連結される上部シャーシ300の下部に設けられた左接合部300aおよび下部シャーシ400の上部に設けられた左接合部400aの長さ S を調整することによって、使用周波数域においてインピーダンス整合をとることが出来る。

【0079】

本出願の発明者は、左ヒンジ機構部180側（上部シャーシ300の下部に設けられた左接合部300aと下部シャーシ400の上部に設けられた左接合部400a）および、右ヒンジ機構部190側（上部シャーシ300の下部に設けられた右接合部300bと下部シャーシ400の上部に設けられた右接合部400b）の導通・非導通に着目し、アンテナ150の放射効率を測定した。表2は、当該測定の結果を示す。なお、表2において、放射効率（dB）の値は、 $\lambda/2$ のダイポールアンテナを0（ゼロ）dBとした場合の特性を示す。

【0080】

【表 2】

放射効率 (d B)			
測定条件		周波数	
左ヒンジ機構部 180側	右ヒンジ機構部 190側	819MHz	949MHz
導通有り	導通有り	-8.5	-7.0
導通無し	導通無し	-6.6	-7.9
導通有り	導通無し	-0.0	-1.3

表2に示されるように、下部シャーシ400の上部に設けられた右接合部400bを金属材料を蒸着させずに成形し上部シャーシ300の下部に設けられた右接合部300bと下部シャーシ400の上部に設けられた右接合部400bの導通をとらず、上部シャーシ300の下部に設けられた左接合部300aと下部シャーシ400の上部に設けられた左接合部400aのみ導通をとった場合は、周波数が819MHzのときは-0.0dBの放射効率が、周波数が949MHzのときは-1.3dBの放射効率を得られることが分かった。従って、左ヒンジ機構部180側および右ヒンジ機構部190側の双方について導通をとった場合および双方について導通をとらなかった場合に比し、放射効率が格段に良いことが分かる。

【0081】

即ち、折り畳み式携帯型電話機100が上述のような構造をとることにより、下部筐体112に搭載されたアンテナ150と、下部シャーシ400と、左ヒンジ機構部180（上部シャーシ300の下部に設けられた左接合部300aと、下部シャーシ400の上部に設けられた左接合部400a、及び左ヒンジ103a）と、従来であればアンテナ150の障害物であった上部シャーシ300とが一体となって、放射効率の良い $\lambda/2$ のアンテナとして動作する。更に、上述の例では、右接合部400bを金属材料を蒸着させずに下部シャーシ400を成形すればよく、簡易に、上記の下部シャーシ400を製造することが出来る。

【0082】

なお、折り畳み式携帯型電話機100を閉じた場合は、上部シャーシ300はアンテナ150の障害物になる位置には存在しないため、良好な放射特性は得ら

れることは言うまでもない。

【0083】

このように、本発明の第1の実施形態の折り畳み式携帯電話機100によれば、当該折り畳み式携帯型電話機を開きアンテナを伸ばして通話や通信等をする場合に、効率よく電波を放射および吸収することが可能となり、高品質の通話や通信等を行うことができる。

【0084】

なお、上記の例では、上部シャーシ300の下部に設けられた右接合部300bと下部シャーシ400の上部に設けられた右接合部400bの導通をとらない構造としているが、本発明はこれに限られない。即ち、図8に示すガンマ整合を利用するにあたり、コンデンサCの容量、長さL、および長さSを調整してインピーダンス整合をとることが出来る適切な値になるように設計することにより、使用周波数帯域で実効的に高利得な $\lambda/2$ ダイポールアンテナとして動作する折り畳み式携帯型電話機を作ることが出来る。

【0085】

例えば、上記の例では、折り畳み式携帯型電話機100の全長、即ち、図4（b）に示す長さ1が、使用周波数の略 $\lambda/2$ に相当するようにしているが、第2プリント基板モジュール157の全長および第1プリント基板モジュール117の全長の和が使用周波数の略 $\lambda/2$ に相当するようにしてもよい。

【0086】

[第2の実施形態]

次に、本発明の第2の実施形態について説明する。なお、以下において参照する図面中、第1の実施形態と同じ部分については同じ番号を付して、原則としてその説明は省略する。

【0087】

図15は、本発明の第2の実施形態に係る折り畳み式携帯型電話機200を開いた状態における外観を示す図であって、図15（a）は斜視図であり、図15（b）は平面図であり、図15（c）は側面図である。図16は、図15に示す折り畳み式携帯型電話機200の分解斜視図である。

【0088】

図15を参照するに、本発明の第2の実施形態に係る折り畳み式携帯型電話機200の外観は、本発明の第1の実施形態に係る折り畳み式携帯型電話機100と同様に、操作キー部分101と、液晶表示部分102と、操作キー部分101と液晶表示部分102とを連結する連結部203等から構成される。

【0089】

また、図16を参照するに、操作キー側部分101は、入力キー板部111と第2筐体として機能する下部筐体112とが組み合わされて成り、第1プリント基板モジュール117が取り付けられ第2シャーシとして機能する下部シャーシ600が内部に組み込まれている。液晶側部分102は、液晶ディスプレイ板部153と第1筐体として機能する上部筐体154とが組み合わされて成り、液晶ディスプレイ152及び第2プリント基板モジュール157が取り付けられ第1シャーシとして機能する上部シャーシ500が内部に組み込まれている。

【0090】

上部シャーシ500及び下部シャーシ600は、左ヒンジ機構部680及び右ヒンジ機構部690を備え、夫々、操作キー側部分101の入力キー板部111の端から突き出ている円弧部23および液晶側部分12の液晶ディスプレイ板部153の端から突き出ている円弧部33によって覆われて、図15に示す連結部203を構成する。なお、左ヒンジ機構部680及び右ヒンジ機構部690の構造の詳細については後述する。

【0091】

また、操作キー側部分101の第1プリント基板モジュール117と、液晶側部分102の第2プリント基板モジュール157は、フレキシブルプリント基板40によって電氣的に接続されている。具体的には、フレキシブルプリント基板40は、左ヒンジ機構部680と右ヒンジ機構部690との間を通り、第1プリント基板モジュール117と第2プリント基板モジュール157に夫々コネクタによって接続されている。フレキシブルプリント基板40は、可撓性のある（フレキシブルな）フラットケーブルで、途中の箇所でカールを形成している。

【0092】

下部筐体 112 の内部であって右側には、送受信用の外部アンテナ 250 が取り付けられている。但し、外部アンテナ 250 は、本発明の第 1 の実施形態に係る折り畳み式携帯型電話機 100 のホイップアンテナ 150 とは異なり、伸長することなく固定されている。

【0093】

図 15 を再度参照するに、携帯時（待ち受け時、非通信時等）には、液晶表示部分 102 が操作キー部分 101 に折り畳まれているが、通信又は通話等を行う際には、操作キー部分 101 がユーザの手に保持され、液晶表示部分 102 を、連結部 203 を中心に手動で回動して折り畳み式携帯型電話機 200 が開かれる。

【0094】

また、折り畳み式携帯型電話機 200 の全長（折り畳み式携帯型電話機 200 の縦方向の長さ）、即ち、図 15（b）に示す長さ l は、第 1 使用周波数の波長 λ_1 の略 $1/2$ に相当するように設定されている。

【0095】

ところで、図 4、図 13 等 に示される前述の本発明の第 1 の実施形態では、折り畳み式携帯型電話機 100 の全長を使用周波数の波長の略 $1/2$ に相当するようにし、左ヒンジ機構部 180 でのみ導通がとられ、導通がとられていない側たる右ヒンジ機構部 190 側にアンテナ 150 が位置され、前述のガンマ整合を利用して、インピーダンス整合をとっていた。

【0096】

本発明の第 2 の実施形態においては、前述のガンマ整合を利用して第 1 使用周波数におけるインピーダンス整合をとるとともに、更に、ノッチアンテナと共振周波数との関係を利用して第 2 使用周波数におけるインピーダンス整合をもっている。以下では、先ずこれらの原理を説明し、次いで、これらの原理に基づく具体的な構成について説明する。

【0097】

図 17 は、本発明の第 2 の実施形態に係る折り畳み式携帯型電話機 200 の原理を説明するための図である。

【0098】

より具体的には、図17(a)は、折り畳み式携帯型電話機200を開いたときの、図16に示す上部シャーシ500および下部シャーシ600の状態を示し、図15(a)におけるY₁-Y₂方向から見た図である。図17(a)において、実線で示す部分は導通がとられており、点線で示す部分は機械的に接合されているものの導通がとられていないことを模式的に表している。また、図17(b)は、図17(a)と電氣的に等価な図を示している。

【0099】

本発明の第2の実施形態に係る折り畳み式携帯型電話機200においては、図15(b)に示す長さlは、第1使用周波数の波長 λ_1 の略1/2に相当するように設定されている。また、図17(a)に示されるように、右ヒンジ機構部690の導通はとられていないが、右ヒンジ機構部690以外の部分(左ヒンジ機構部680を含む)は導通がとられている。

【0100】

従って、図17(b)において斜線を付して示されるように、上部シャーシ500と下部シャーシ600との間には、電氣的ノッチ、即ち、電氣的な切り欠きが形成される。

【0101】

ここで、図17(b)に示される電氣的状態は、図5及び図7に示されるガンマ整合の変形である図8に示される状態と等価である。即ち、折り畳み式携帯型電話機200の全長lを第1使用周波数の波長 λ_1 の略1/2に相当するように設定し、周知の方法による乗数の変化に基づくコンデンサCの容量の調整、電氣的ノッチが形成されている側の上部シャーシ500及び下部シャーシ600の端部から導通がとられている左ヒンジ機構部680までのX₁-X₂方向の長さ、即ち、電氣的ノッチのX₁-X₂方向の長さLの調整、および、電氣的ノッチのY₁-Y₂方向の長さSの調整を行うことによって、前述のガンマ整合を利用して第1使用周波数におけるインピーダンス整合をとることができる。

【0102】

かかる調整により、上部シャーシ500と、下部シャーシ600と、左ヒンジ

機構部 680 とが一体となって、第 1 使用周波数の波長 λ_1 の略 $1/2$ の長さを有する放射効率の良いアンテナとして動作する。

【0103】

ところで、本出願の発明者は、図 17 において斜線で示された電氣的ノッチを備えた所謂ノッチアンテナと共振周波数との関係に着目し、第 2 の実施形態においては更に、第 2 使用周波数でのインピーダンス整合をとっている。

【0104】

図 18 は、ノッチアンテナと共振周波数との関係を説明するための図である。図 19 は、図 18 に示すノッチアンテナ 900 において、後述する E x モードを採用した場合の、図 18 と電氣的に等価な図である。なお、図 18 においては、図 17 (b) において示したのと同様に、電氣的ノッチを斜線を付して表している。

【0105】

図 18 を参照するに、内部に電氣的ノッチを備えたノッチアンテナ 900 においては、電氣的ノッチの x 方向の長さを S とし、電氣的ノッチの y 方向の長さを L とし、当該ノッチアンテナを使用する周波数における波長を λ_2 とした場合に、以下の 2 通りの場合に共振することが知られている。即ち、L が S よりも大きく、 $L = \lambda_2 / 4$ の場合（以下、「E x モード」という）と、S が L よりも大きく、 $S = \lambda_2 / 2$ の場合（以下、「E y モード」という）に共振する。

【0106】

しかしながら、E y モードにあつては、ノッチアンテナ 900 に給電するための同軸ケーブル 901 を長く設ける必要があるため、これを折り畳み式携帯型電話機に適用することは好ましくない。

【0107】

そこで、本出願の発明者は、E x モードを採用し、これを折り畳み式携帯型電話機に適用することを見出し、同軸ケーブル 901 の長さを最小限に抑えている。折り畳み式携帯型電話機に E x モードを採用すると、図 18 に示すノッチアンテナ 900 は、図 19 に示す全長が $\lambda_2 / 4$ のモノポールアンテナと電氣的に等価となる。

【0108】

このようにして、図18に示される電氣的ノッチのy方向の長さをLを、第2使用周波数の $\lambda_2/4$ に相当する長さに設定し、図17(b)に示すコンデンサCの容量を調整することにより、第2使用周波数においてインピーダンス整合を図ることができる。

【0109】

ところで、折り畳み式携帯型電話機は、待ち受け時や携帯時等においては折り畳んだ状態で使用される。従って、折り畳んだ状態であっても第1使用周波数及び第2使用周波数の双方において共振させる構造が必要となる。

【0110】

具体的には、折り畳んだ状態においても、上述の電氣的ノッチを形成される構造を設ける必要がある。そのため、本出願の発明者は、構造の詳細は後述するが、図17に示す左ヒンジ機構部680と右ヒンジ機構部690との間に導体を設けることとしている。この状態と電氣的に等価の状態を図20に示す。なお、図20においても、電氣的ノッチは斜線を付して示している。図20(a)は、折り畳み式携帯型電話機を開いている場合を示し、図20(b)は閉じている場合を示している。

【0111】

図20を参照するに、左ヒンジ機構部680からX1方向(右ヒンジ機構部690側)に導体部材902が設けられ、更に、図18に示す例では上部シャーシ500に設けられていた給電点は導体部材902に設けられている。従って、図20において斜線で示すように、電氣的ノッチは、導体部材902と下部シャーシ600との間に、Y1-Y2方向に幅S'を有して形成される。

【0112】

上部シャーシ500と下部シャーシ600の開閉は、左ヒンジ機構部680及び右ヒンジ機構部690を中心に行われるため、このような構造にすることにより、図20(b)に示すように、上部シャーシ500を下部シャーシ600に対して閉じて、電氣的ノッチは、導体部材902と下部シャーシ600との間に形成される。

【0113】

このように、折り畳み式携帯型電話機 200 の開閉状態を問わず、電氣的ノッチを形成することができ、所望の第 2 使用周波数において共振させることが可能となる。

【0114】

また、図 15 に示されるように、折り畳み式携帯型電話機 200 の全長は、第 1 使用周波数の波長 λ_1 の略 $1/2$ に相当するように設定されているが、折り畳み式携帯型電話機 200 を折り畳むと、折り畳み式携帯型電話機 200 の全長は、第 1 使用周波数の波長 λ_1 の略 $1/4$ となる。この状態を図 21 に示す。

【0115】

具体的には、図 21 (a) は、折り畳み式携帯型電話機 200 を開いている状態を示し、図 21 (b) は、折り畳み式携帯型電話機 200 を閉じている状態を示す。図 21 において白抜きの矢印は、折り畳み式携帯型電話機 200 における電流の向きを示す。また、図 21 (a) の左図は、折り畳み式携帯型電話機 200 を開いている状態における電流分布を示し、縦軸は折り畳み式携帯型電話機 200 の全長方向における任意の位置を、横軸は電流の大きさを示す。当該電流分布において、上半分は上部シャーシ 500 側の電流分布を示しており、下半分は下部シャーシ 600 の電流分布を示している。

【0116】

図 21 に示されるように、図 17 に示される構造においては、折り畳み式携帯型電話機 200 を折り畳むと、上部シャーシ 500 における電流の向きは下部シャーシ 600 における電流の向きと逆方向となり、互いに打ち消しあうこととなる。そのため、第 1 使用周波数における共振状態が崩れる可能性がある。

【0117】

そこで、具体的な構造については後述するが、図 22 に示すように、全長が第 1 使用周波数の波長 λ_1 の略 $1/2$ に相当する長さを有する同軸ケーブル 903 により、上部シャーシ 500 と下部シャーシ 600 とを結線している。

【0118】

図 22 (a) は、折り畳み式携帯型電話機 200 を開いている状態を示し、図

22 (b) は、折り畳み式携帯型電話機 200 を閉じている状態を示す。図 22 において白抜きの矢印は、折り畳み式携帯型電話機 200 における電流の向きを示す。また、図 22 (a) の左図は、折り畳み式携帯型電話機 200 を開いている状態における電流分布を示し、横軸は電流の大きさを、縦軸は折り畳み式携帯型電話機 200 の全長方向における任意の位置を示す。電流分布において、矢印 A で示された部分は、同軸ケーブル 903 に相当する部分である。

【0119】

図 22 に示すように、全長が第 1 使用周波数の波長 λ_1 の略 $1/2$ に相当する長さの同軸ケーブル 903 によって、上部シャーシ 500 と下部シャーシ 600 とを接続することにより、折り畳み式携帯型電話機 200 を閉じても、上部シャーシ 500 と下部シャーシ 600 における電流の向きが同一方向となることがわかる。

【0120】

即ち、同軸ケーブル 903 により上部シャーシ 500 と下部シャーシ 600 とを結線することにより、折り畳み式携帯型電話機 200 を折り畳んでも、折り畳み式携帯型電話機 200 を開いている状態と同じように、全長が第 1 使用周波数の波長 λ_1 の略 $1/2$ に相当する折り畳み式携帯型電話機のガンマ整合を利用することができる。

【0121】

従って、折り畳み式携帯型電話機 200 を折り畳んでも、図 21 に示されるような上部シャーシ 500 における電流の向きと下部シャーシ 600 における電流の向きとが互いに打ち消されることを防止でき、第 1 使用周波数において共振させることができる。なお、第 2 使用周波数における共振は、前述したように、図 17 における電氣的ノッチの y 方向の長さ L に起因するため、第 2 使用周波数については、折り畳み式携帯型電話機 200 の開閉状態を問わず共振を得ることができる。

【0122】

次に、上述の原理に基づき、ガンマ整合を利用して第 1 使用周波数におけるインピーダンス整合をとることができるとともに、更に、ノッチアンテナと共振周

波数との関係を利用して第 2 使用周波数におけるインピーダンス整合もとることができる本発明の第 2 の実施形態の折り畳み式携帯型電話機 2 0 0 の具体的な構成について説明する。

【0 1 2 3】

図 2 3 は、図 1 6 に示す本発明の第 2 の実施形態の折り畳み式携帯型電話機 2 0 0 の上部シャーシ 5 0 0 及び下部シャーシ 6 0 0 の分解斜視図である。

【0 1 2 4】

図 2 3 を参照するに、図 1 6 に示される上部シャーシ 5 0 0 には、液晶ディスプレイ 1 5 2 及び第 2 プリント基板モジュール 1 5 7 が取り付けられている。また、下部シャーシ 6 0 0 には、第 1 プリント基板モジュール 1 1 7 が取り付けられている。

【0 1 2 5】

上部シャーシ 5 0 0 は、アルミニウムやニッケル等の金属または、合成樹脂にアルミニウム、ニッケル又はマグネシウム等の金属材料を蒸着したものから構成される。上部シャーシ 5 0 0 と第 2 プリント基板モジュール 1 5 7 の接地導体パターンとはバネ部材等を介して電氣的に接続されている。

【0 1 2 6】

また、上部シャーシ 5 0 0 は、左ヒンジ機構部 6 8 0 及び右ヒンジ機構部 6 9 0 を介して、下部シャーシ 6 0 0 と回動可能に連結される。

【0 1 2 7】

左ヒンジ機構部 6 8 0 は、左ヒンジ 1 0 3 a と、上部シャーシ 5 0 0 の下部に設けられた第 1 接合部として機能する左接合部 3 0 0 a と、下部シャーシ 6 0 0 の上部に設けられた第 2 接合部として機能する左接合部 4 0 0 a とを備える。同様に、右ヒンジ機構部 6 9 0 は、右ヒンジ 1 0 3 b と、上部シャーシ 5 0 0 の下部に設けられた右接合部 3 0 0 b と、下部シャーシ 6 0 0 の上部に設けられた右接合部 4 0 0 b とを備える。

【0 1 2 8】

左接合部 3 0 0 a 及び 4 0 0 a は中空形状を有し、左ヒンジ 1 0 3 a を挿設することができる。また、右接合部 3 0 0 b 及び 4 0 0 b は中空形状を有し、右ヒ

ンジ 103b を挿設することができる。

【0129】

下部シャーシ 600 は、アルミニウム、ニッケル又はマグネシウム等の金属または、合成樹脂にアルミニウムやニッケル等の金属材料を蒸着したものから構成される。但し、下部シャーシ 600 の上部に設けられた右接合部 400b は、上記の金属材料を蒸着していない合成樹脂等の非導電材料から構成される。例えば、右接合部 400b をマスクして上記金属材料を合成樹脂に蒸着させて、下部シャーシ 600 は成形される。従って、簡易に、上述の右接合部 400b を備えた下部シャーシ 600 を成形することができる。

【0130】

上部シャーシ 500 と下部シャーシ 600 は、左ヒンジ機構部 680 および右ヒンジ機構部 690 を介して連結され、左ヒンジ 103a が挿設される左接合部 300a と左接合部 400a との間は導通し、右ヒンジ 103b が挿設される右接合部 300b と右接合部 400b との間は導通されない。

【0131】

また、導通している左ヒンジ機構部 680 側において、導通を確実に取るために、上部シャーシ 500 の下部に設けられた左接合部 300a と下部シャーシ 600 の上部に設けられた左接合部 400a との間に、中空形状の接触金具 160 が挟装されている。

【0132】

以上の構造により、上部シャーシ 500 と下部シャーシ 600 は、第 1 連結部として機能する左ヒンジ機構部 680 および第 2 連結部として機能する右ヒンジ機構部 690 を介して機械的には接続されているものの、電氣的には左ヒンジ機構部 680 でのみ導通がとられている。従って、左ヒンジ機構部 680 と右ヒンジ機構部 690 との間には、図 17 乃至図 19 を参照して説明した電氣的ノッチが形成され、上部シャーシ 500 と、下部シャーシ 600 と、左ヒンジ機構部 680 とにより、ノッチアンテナが形成される。

【0133】

より具体的には、上部シャーシ 500 及び下部シャーシ 600 の導通がとられ

ている部分たる左ヒンジ機構部 680 と上部シャーシ 500 及び下部シャーシ 600 の導通がとられていない部分たる右ヒンジ機構部 690 との間の、図 23 における Z1-Z2 方向の長さが、図 17 乃至図 19 を参照して説明された長さ L、即ち、第 2 使用周波数の波長 λ_2 の略 $1/4$ に相当するように設定されている。また、前述のように、折り畳み式携帯型電話機 200 の全長（折り畳み式携帯型電話機 200 の縦方向の長さ）、即ち、図 15 (b) に示す長さ l は、第 1 使用周波数の波長 λ_1 の略 $1/2$ に相当するように設定されている。

【0134】

従って、折り畳み式携帯型電話機 200 を開いた状態において、折り畳み式携帯型電話機 200 の内部に設けられたコンデンサの容量を適宜調節することにより、ガンマ整合を利用して第 1 使用周波数におけるインピーダンス整合をとるとともに、更に、ノッチアンテナと共振周波数との関係を利用して第 2 使用周波数におけるインピーダンス整合もとることができる

なお、上記の例では、下部シャーシ 600 の上部に設けられた右接合部 400 b 全体が非導電材料から構成されている。しかしながら、右ヒンジ機構部 690 側が導通しない構造とする限りは、これに限られない。

【0135】

例えば、下部シャーシ 600 の上部に設けられた右接合部 400 b が上部シャーシ 500 の下部に設けられた右接合部 300 b と接触する面 161 のみをマスクして、上記金属材料を合成樹脂に蒸着させて下部シャーシ 600 を成形し、接触面 161 のみが非導電材料から構成されるものとしてもよい。

【0136】

また、上部シャーシ 500 の下部に設けられた右接合部 300 b と下部シャーシ 600 の上部に設けられた右接合部 400 b との間に非導電性のワッシャー部材等を介在させてもよい。

【0137】

更に、上記の例では、折り畳み式携帯型電話機 100 の全長、即ち、図 4 (b) に示す長さ l が、第 1 使用周波数の略 $\lambda_1/2$ に相当するようにしているが、例えば、第 2 プリント基板モジュール 157 の全長および第 1 プリント基板モジ

ジュール 117 の全長の和が使用周波数の略 $\lambda_1/2$ に相当するようにしてもよい。

【0138】

ところで、図 24 は、図 23 に示される下部シャーシ 600 を示す図であり、図 24 (a) は平面図であり、図 24 (b) は、図 23 において $Z_2 - Z_1$ 方向からみたときの側面図である。

【0139】

図 23 及び図 24 に示されるように、下部シャーシ 600 の上部に設けられた左接合部 400 a において、導体部材 902 が、左接合部 400 a の中空部分より下側に位置する部分から、 Z_1 方向、即ち、右ヒンジ機構部 690 側に右接合部 400 b に到達しない程度に、且つ、下部シャーシ 600 との間に長さ S' の間隔を形成して、延設されている。

【0140】

上部シャーシ 500 と下部シャーシ 600 の開閉は左ヒンジ機構部 680 及び右ヒンジ機構部 690 を中心に行われるが、かかる導体部材 902 により、上部シャーシ 500 を下部シャーシ 600 に対して閉じていても、電氣的ノッチは、導体部材 902 と下部シャーシ 600 との間において長さ S' の間隔を有して形成される。

【0141】

即ち、折り畳み式携帯型電話機 200 の開閉状態を問わず電氣的ノッチを形成することができ、折り畳み式携帯型電話機 200 の開閉状態を問わず所望の第 2 使用周波数において共振させることが可能となる。

【0142】

ところで、図 15 を参照して前述したように、上部シャーシ 500 に取り付けられる第 1 プリント基板モジュール 117 と、下部シャーシ 600 に取り付けられる第 2 プリント基板モジュール 157 は、途中の箇所でカールを形成しているフレキシブルプリント基板 40 によって電氣的に接続されている。

【0143】

図 25 は、かかるフレキシブルプリント基板 40 及びその近傍の第 1 の構造を

示す斜視図である。また、図 26 は、かかるフレキシブルプリント基板 40 及びその近傍の第 2 の構造を示す斜視図である。

【0144】

図 25 を参照するに、一点鎖線で示すフレキシブルプリント基板 40 の一端には、上部シャーシ 500 に取り付けられる第 1 プリント基板モジュール 117 に接続されるコネクタ 910 が設けられ、フレキシブルプリント基板 40 の他端には、下部シャーシ 600 に取り付けられる第 2 プリント基板モジュール 157 に接続されるコネクタ 911 が設けられている。フレキシブルプリント基板 40 がコネクタ 910 及び 911 を介してプリント基板モジュール 117 及び 157 に接続されると、少なくとも 1 周螺旋状にカール部 41 が形成される。

【0145】

フレキシブルプリント基板 40 に形成されたカール部 41 の内部には、軸方向に軸部材 912 が挿入されており、長期間の繰り返しの開閉動作によってカール部 41 が変形することが防止される。また、カール部 41 の外周部に沿って保護シート 913 が配置され、フレキシブルプリント基板 40 が保護されている。

【0146】

保護シート 913 には、複数の穴 914 が形成されている。かかる穴 914 に、第 1 プリント基板モジュール 117 と第 2 プリント基板モジュール 157 とを接続し長さが第 1 使用周波数の波長 λ_1 の略 $1/2$ に相当する長さの同軸線路である同軸ケーブル 903 が通され、概ね保護シート 913 に沿って、第 1 プリント基板モジュール 117 の外周を巻くように同軸ケーブル 903 は配置される。

【0147】

或いは、図 26 に示されるように、上述の複数の穴 914 が形成された保護シート 913 を用いず、軸部材 912 の中心に軸方向の穴 915 を設けて、この穴 915 に、上述の同軸ケーブル 903 を通す構造としてもよい。

【0148】

何れにせよ、フレキシブルプリント基板 40 に形成されたカール部 41 を利用して、第 1 使用周波数の波長 λ_1 の略 $1/2$ に相当する長さを有する同軸ケーブル 903 によって、下部シャーシ 600 に設けられた第 1 プリント基板モジュール

ル 117 と上部シャーシ 500 に設けられた第 2 プリント基板モジュール 157 とが結線されている。従って、折り畳み式携帯型電話機 200 を折り畳み、下部シャーシ 600 に対して上部シャーシ 500 を閉じて、折り畳み式携帯型電話機 200 を開いている状態と同じように、全長が略 $\lambda_1/2$ の折り畳み式携帯型電話機のガンマ整合を利用することができ第 1 使用周波数において共振させることができる。

【0149】

このように、導体部材 902 が、左接合部 400a から導通していない右ヒンジ機構部 690 側へ延設され、下部シャーシ 600 との間に長さ S' の間隔を形成して設けられ、更に、第 1 使用周波数の波長 λ_1 の略 $1/2$ に相当する長さを有する同軸ケーブル 903 によって、下部シャーシ 600 に設けられた第 1 プリント基板モジュール 117 と上部シャーシ 500 に設けられた第 2 プリント基板モジュール 157 とが結線されているため、折り畳まれている状態であっても、第 1 使用周波数及び第 2 使用周波数の双方において共振させることができる。

【0150】

以上、詳述したように、本発明の第 2 の実施形態に係る折り畳み式携帯型電話機 200 によれば、上部シャーシ 500 と、下部シャーシ 600 と、ヒンジ機構部 680 及び 690 とが一体となって、異なる使用周波数帯域（デュアルバンド）における内蔵アンテナとして、より具体的には、実効的に高利得な変形ガンマ整合型半波長ダイポールアンテナとして動作することができる。よって、デュアルバンドにおいて効率よく電波を放射及び吸収することが可能となり、高品質の通話や通信等を行うことができる。

【0151】

また、送受信における夫々の周波数に対応した外部アンテナ（例えば、ホイップアンテナ等）を折り畳み式携帯型電話機 200 の内部において特別にスペースを設けて実装することなく、折り畳み式携帯型電話機 200 の内部に設けられた上部シャーシ 500 と、下部シャーシ 600 と、ヒンジ機構部 680 及び 690 とにより形成された電氣的ノッチを利用した内蔵アンテナを用いて、夫々の周波数において共振させることができる。従って、折り畳み式携帯型無線機の小型化

や軽量化を図ることができる。

【0152】

例えば、上述した折り畳み式携帯型電話機 200 は、図 27 に示す折り畳み式携帯型電話機 950 に変形することができる。ここで、図 27 は、本発明の第 2 の実施形態の変形例に係る折り畳み式携帯型電話機 950 の分解斜視図である。

【0153】

図 27 を参照するに、折り畳み式携帯型電話機 950 は、上述の折り畳み式携帯型電話機 200 と略同一の構造を有しているが、折り畳み式携帯型電話機 200 の場合と異なり、図 16 に示される外部アンテナ 150 が設けられていない。上述のように、本発明の第 2 の実施形態によれば、上部シャーシ 500 と、下部シャーシ 600 と、ヒンジ機構部 680 及び 690 等が一体となった内蔵アンテナのみでデュアルバンドに対応することができるため、ホイップアンテナ等に代表される外部アンテナそのものを設けていない構造とされている。

【0154】

図 27 に示す構造によれば、外部アンテナの、折り畳み式携帯型電話機 950 の外部へ突出した部位が設けられていないため、折り畳み式携帯型電話機 950 をポケットや鞆等から出し入れする際の障害の発生を回避でき、出し入れがスムーズとなる。更に、折り畳み式携帯型電話機 950 の小型化及び軽量化を図りつつ、外部アンテナを設けるために必要とされていたスペースを他の用途に使用することができる。

【0155】

上述の図 15 乃至図 27 に示す例では、本発明の第 2 の実施形態を、折り畳み式携帯型電話機を用いて説明した。しかしながら、本発明の第 2 の実施形態に用いられている原理（図 17 乃至図 19 参照）を、携帯時（待ち受け時、非通信時等）においても折り畳まずに使用される所謂ストレート式携帯型電話にも適用することができる。

【0156】

即ち、所謂ストレート式携帯型電話の内部に設けられている基板を、図 17（b）に示すように、基板の中央付近に電氣的ノッチを設けるべく基板の形状を平

面視略コの字型に形成し、基板の長辺を第 1 使用周波数の波長 λ_1 の略 $1/2$ に相当する長さに設定し、前記電氣的ノッチの長辺を第 2 使用周波数の波長 λ_2 の略 $1/4$ に相当する長さに設定した構造にする。

【0 1 5 7】

このような構造にすることにより、電氣的には図 1 7 (a) に示す折り畳み式携帯型電話機 2 0 0 を開いた状態と等価になり、図 1 7 乃至図 1 9 を参照して説明した本発明の第 2 の実施形態に係る原理に基づき、異なる使用周波数帯域において共振を得ることができ、実効的に高利得な変形ガンマ整合型半波長ダイポールアンテナとして動作することができる。

【0 1 5 8】

以上本発明の好ましい実施例について詳述したが、本発明は係る特定の実施形態に限定されるものではなく、特許請求の範囲に記載された本発明の要旨の範囲内において、種々の変形・変更が可能である。

【0 1 5 9】

例えば、上述の各実施形態では、折り畳み式携帯型電話機および当該電話機の筐体について説明したが、本発明はこれに限られず、携帯時（待ち受け時、非通信時等）には折り畳まれ、通話や通信等をする際に開かれて使用される構造の他の折り畳み式携帯型無線機および当該無線機のシャーシにも適用される。

【0 1 6 0】

なお、本発明は、以下に記載する付記のような構成が考えられる。

(付記 1) 第 1 シャーシと、前記第 1 シャーシが折り畳み可能に連結される第 2 シャーシとから成るシャーシ部を備えた折り畳み式携帯型無線機において、

前記シャーシ部は、導電性を有し全長が当該無線機の使用周波数の略半波長 ($\lambda/2$) である導体部と、電氣的ノッチとを含むことを特徴とする折り畳み式携帯型無線機。

(付記 2) 前記電氣的ノッチ側にアンテナが備えられていることを特徴とする付記 1 記載の折り畳み式携帯型無線機。

(付記 3) 前記導体部は、前記使用周波数の略四分の一波長 ($\lambda/4$) 以下の幅を有し、

前記電氣的ノッチは、前記使用周波数の略十分の一波長 ($\lambda / 10$) 以下の全長および略 $\lambda / 10$ 以上 $\lambda / 4$ 以下の幅を有することを特徴とする付記 1 又は 2 記載の折り畳み式携帯型無線機。

(付記 4) 前記導体部は、前記第 1 シャーシおよび前記第 2 シャーシの内部に備えられたプリント基板モジュールであることを特徴とする付記 1 乃至 3 いずれか一項記載の折り畳み式携帯型無線機。

(付記 5) 前記電氣的ノッチは、当該無線機の使用周波数の略四分の一波長 ($\lambda / 4$) の幅を有することを特徴とする付記 1 記載の折り畳み式携帯型無線機。

(付記 6) 導電性を有する第 1 シャーシと、

ヒンジ機構部によって前記第 1 シャーシが折り畳み可能に連結され導電性を有する第 2 シャーシと、を備える折り畳み式携帯型無線機において、

前記ヒンジ機構部は、前記第 1 シャーシと前記第 2 シャーシとを導通させる部分と導通させない部分とを有し、

前記第 1 シャーシ及び前記第 2 シャーシの全長は、当該無線機の使用周波数の略半波長 ($\lambda / 2$) であることを特徴とする折り畳み式携帯型無線機。

(付記 7) 前記ヒンジ機構部において、前記第 1 シャーシと前記第 2 シャーシとを導通させる部分は、前記第 1 シャーシの下部に設けられた第 1 接合部と、前記第 2 シャーシの上部に設けられた第 2 接合部とを含み、

前記第 1 接合部と前記第 2 接合部との間に導電体が挟着されていることを特徴とする付記 6 記載の折り畳み式携帯型無線機。

(付記 8) 前記ヒンジ機構部において、前記第 1 シャーシと前記第 2 シャーシとを導通させる部分と前記ヒンジ機構部の前記第 1 シャーシと前記第 2 シャーシとを導通させない部分との間の長さは、当該無線機の使用周波数の略四分の一波長 ($\lambda / 4$) であることを特徴とする付記 6 又は 7 記載の折り畳み式携帯型無線機。

(付記 9) 前記第 2 シャーシと一定の間隔を形成しつつ、

前記ヒンジ機構部の前記第 1 シャーシと前記第 2 シャーシとを導通させる部分から前記第 1 シャーシと前記第 2 シャーシとを導通させない部分に向って、導電部材が延設されていることを特徴とする付記 6 乃至 8 いずれか一項記載の折り畳

み式携帯型無線機。

(付記 10) 前記第 1 シャーシと前記第 2 シャーシとを結線し、当該無線機の使用周波数の略半波長 ($\lambda/2$) の全長を有する同軸線路を更に備えることを特徴とする付記 6 乃至 9 いずれか一項記載の折り畳み式携帯型無線機。

(付記 11) 前記第 1 シャーシ及び前記第 2 シャーシの内部に備えたプリント基板モジュール同士を電氣的に接続する可撓性プリント基板を更に備え、

前記同軸線路は、前記可撓性プリント基板に巻回されて設けられていることを特徴とする付記 10 記載の折り畳み式携帯型無線機。

(付記 12) 前記第 2 シャーシにおいて伸長自在に設けられるアンテナを更に備え、

前記アンテナは、前記ヒンジ機構部の、前記上部シャーシと前記下部シャーシとを導通させない部分の側に設けられることを特徴とする付記 6 記載の折り畳み式携帯型無線機。

(付記 13)

内部にプリント配線板を搭載し導電性を有する第 1 シャーシを備えた第 1 筐体と、

内部にプリント配線板を搭載し導電性を有する第 2 シャーシを備えた第 2 筐体と、

前記第 1 筐体を前記第 2 筐体に対し開いた状態において、前記第 1 筐体の背面に伸長可能であって、前記第 2 筐体の左右何れかの側に取り付けられたアンテナと、を備えた折り畳み式携帯型電話機において、

前記アンテナは、前記第 2 シャーシに搭載された前記プリント配線板の給電回路から給電を受け、

前記第 1 シャーシと前記第 2 シャーシとは、左右に設けられた連結部を介して接続されており、

前記アンテナが位置している側の前記連結部は、前記第 1 シャーシと前記第 2 シャーシとを電氣的に非接続とし、他の側の前記連結部は、前記第 1 シャーシと前記第 2 シャーシとを電氣的に接続し、

当該無線機の全長は使用周波数の略半波長 ($\lambda/2$) であることを特徴とする

折り畳み式携帯型無線機。

(付記 1.4) 前記第 1 シャーシは、前記第 1 シャーシに搭載された前記プリント配線板の接地導体パターンと電氣的に接続され、

前記第 2 シャーシは、前記第 2 シャーシに搭載された前記プリント配線板の接地導体パターンと電氣的に接続されたことを特徴とする付記 1.3 記載の折り畳み式携帯型無線機。

(付記 1.5)

内部にプリント配線板を搭載し導電性を有する第 1 シャーシを備えた第 1 筐体と、

内部にプリント配線板を搭載し導電性を有する第 2 シャーシを備えた第 2 筐体と、を備えた折り畳み式携帯型電話機において、

前記第 1 シャーシと前記第 2 シャーシとは、左右に設けられた第 1 連結部及び第 2 連結部を介して物理的に接続され、

前記第 1 連結部は、前記第 1 シャーシと前記第 2 シャーシとを電氣的に接続し、前記第 2 連結部は、前記第 1 シャーシと前記第 2 シャーシとを電氣的に非接続とし、

前記第 1 筐体を前記第 2 筐体に対し開いた状態における当該無線機の全長は第 1 使用周波数の略半波長 ($\lambda_1/2$) であり、

前記第 1 連結部と前記第 2 連結部との間の長さは、当該無線機の第 2 使用周波数の略四分の一波長 ($\lambda_2/4$) であり、

前記第 1 シャーシと、前記第 2 シャーシと、前記第 1 連結部と、前記第 2 連結部とが当該折り畳み式携帯型無線機の内蔵アンテナとして、前記第 1 使用周波数及び前記第 2 使用周波数の無線の送受信をすることを特徴とする折り畳み式携帯型無線機。

(付記 1.6) 折り畳み式携帯型無線機に内装されるシャーシであって、

当該シャーシは、第 1 シャーシ及び第 2 シャーシから構成され、

前記第 1 シャーシ及び前記第 2 シャーシを連結する複数の接合部が前記第 1 シャーシ及び前記第 2 シャーシに設けられ、

前記第 1 シャーシの一の接合部と接触する前記第 2 シャーシの一の接合部の面

は、非導電材料のみから成ることを特徴とする折り畳み式携帯型無線機のシャーシ。

(付記 17) 前記第 2 シャーシの前記一の接合部は非導電材料のみから成ることを特徴とする付記 16 記載の折り畳み式携帯型無線機のシャーシ。

(付記 18) 前記第 2 シャーシと一定の間隔を形成しつつ、
前記第 2 シャーシの他の接合部近傍から、前記第 2 シャーシの前記一の接合部に向って導電部材が延設されていることを特徴とする付記 16 又は 17 記載の折り畳み式携帯型無線機のシャーシ。

【0161】

【発明の効果】

以上詳述したところから明らかなように、本発明の折り畳み式携帯型無線機および当該無線機の筐体によれば、当該無線機を開きアンテナを伸ばして通話や通信等をする場合に、効率よく電波を放射および吸収することが可能となり、高品質の通話や通信等を行うことが出来る。

【図面の簡単な説明】

【図 1】

従来の折り畳み式携帯型電話機の分解斜視図である。

【図 2】

図 1 に示す従来の折り畳み式携帯型電話機 10 を閉じたときの上部シャーシ 34 および下部シャーシ 23 の状態を示す概略図である。

【図 3】

図 1 に示す従来の折り畳み式携帯型電話機 10 を開いたときの上部シャーシ 34 および下部シャーシ 23 の状態を示す概略図である。

【図 4】

本発明の第 1 の実施形態に係る折り畳み式携帯型電話機 100 を開いた状態における外観を示す図である。

【図 5】

ガンマ整合を説明するための図である。

【図 6】

図 5 に示すガンマ整合における入力インピーダンスの変化の様子を示したグラフである。

【図 7】

図 5 と等価であり、図 5 に示すガンマ整合の変形図である。

【図 8】

図 5 および図 7 と等価であり、図 7 に示すガンマ整合の変形図である。

【図 9】

周波数が 9 0 0 M H z 帯であって、表 1 に示す条件下でのインピーダンス特性を表したグラフである。

【図 1 0】

周波数が 9 0 0 M H z 帯であって、表 1 に示す長さ L が 0 （ゼロ）の場合のインピーダンス特性を表したグラフである。

【図 1 1】

周波数が 1 . 5 G H z 帯であって、表 1 に示す条件下でのインピーダンス特性を表したグラフである。

【図 1 2】

図 4 に示す本発明の第 1 の実施形態に係る折り畳み式携帯型電話機 1 0 0 の分解斜視図である。

【図 1 3】

図 4 及び図 1 2 に示す本発明の第 1 の実施形態に係る折り畳み式携帯型電話機 1 0 0 を開いたときの上部シャーシ 3 0 0 及び下部シャーシ 4 0 0 の状態を示す概略図である。

【図 1 4】

図 1 3 と等価であり、図 1 3 の変形図である。

【図 1 5】

本発明の第 2 の実施形態に係る折り畳み式携帯型電話機 2 0 0 を開いた状態における外観を示す図である。

【図 1 6】

図 1 5 に示す折り畳み式携帯型電話機 2 0 0 の分解斜視図である。

【図 1 7】

本発明の第 2 の実施形態に係る折り畳み式携帯型電話機 2 0 0 の原理を説明するための図である。

【図 1 8】

ノッチアンテナと共振周波数との関係を説明するための図である。

【図 1 9】

図 1 8 に示すノッチアンテナ 9 0 0 において、E x モードを採用した場合の、図 1 8 と電氣的に等価な図である。

【図 2 0】

図 1 7 に示す左ヒンジ機構部 6 8 0 と右ヒンジ機構部 6 9 0 との間に導体を設けた場合の電氣的状態を示す図である。

【図 2 1】

折り畳み式携帯型電話機 2 0 0 を折り畳んだ状態を示した図である。

【図 2 2】

上部シャーシ 5 0 0 と下部シャーシ 6 0 0 を同軸ケーブル 9 0 3 で結線した場合の折り畳み式携帯型電話機 2 0 0 を表した図である。

【図 2 3】

本発明の第 2 の実施形態の折り畳み式携帯型電話機 2 0 0 の上部シャーシ 5 0 0 及び下部シャーシ 6 0 0 の分解斜視図である。

【図 2 4】

図 2 3 に示される下部シャーシ 6 0 0 を示す図である。

【図 2 5】

フレキシブルプリント基板 4 0 及びその近傍の第 1 の構造を示す斜視図である。

【図 2 6】

フレキシブルプリント基板 4 0 及びその近傍の第 2 の構造を示す斜視図である。

【図 2 7】

本発明の第 2 の実施形態の変形例に係る折り畳み式携帯型電話機 9 5 0 の分解

斜視図である。

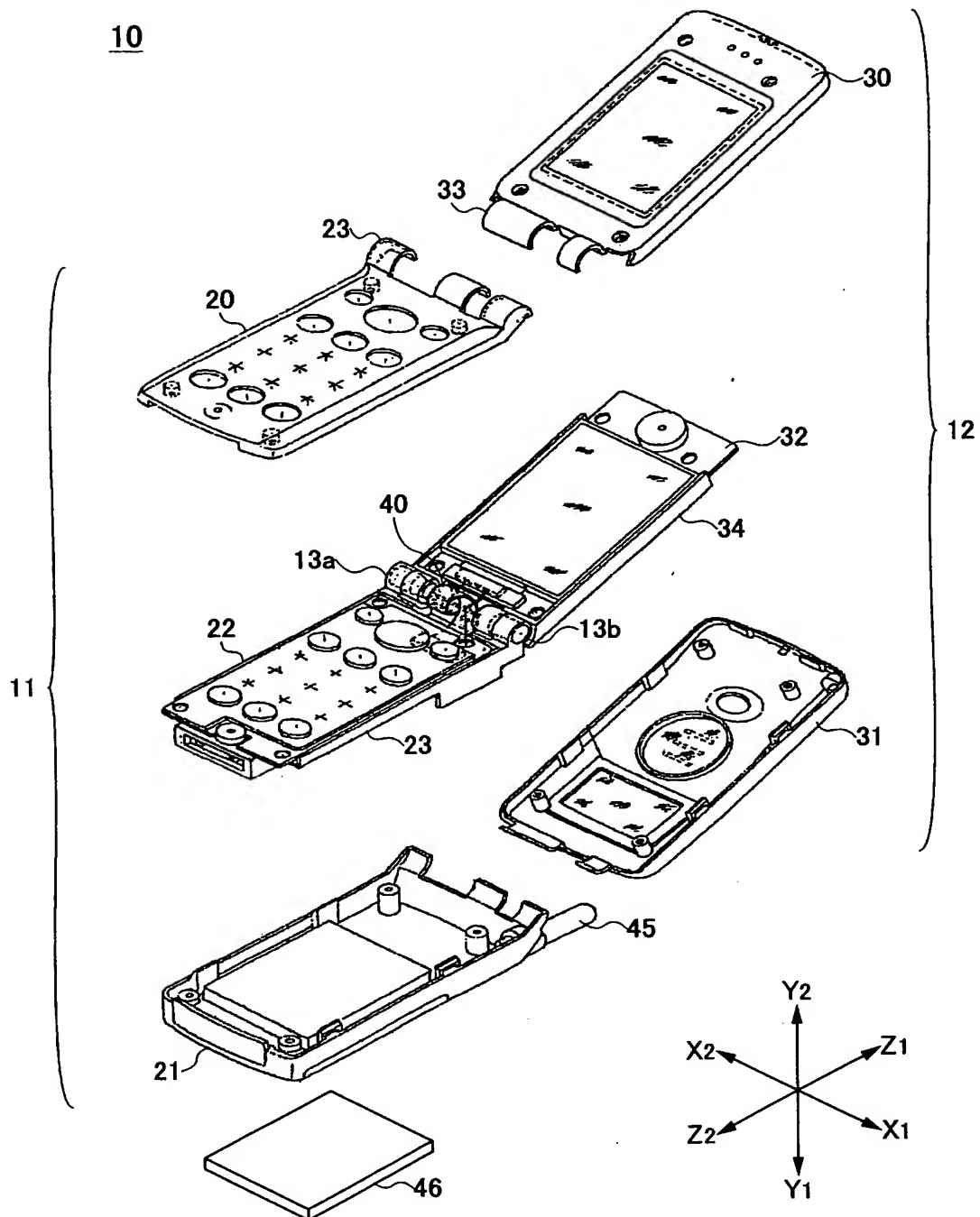
【符号の説明】

4 0	フレキシブルプリント基板
1 0 0、2 0 0、9 5 0	折り畳み式携帯型電話機
1 0 1	操作キー部分
1 0 2	液晶表示部分
1 0 3 a	左ヒンジ
1 0 3 b	右ヒンジ
1 0 5	バッテリーパック
1 1 2	下部筐体
1 1 7	第 1 プリント基板モジュール
1 5 0、2 5 0	アンテナ
1 5 4	上部筐体
1 5 7	第 2 プリント基板モジュール
1 6 0	接触金具
1 6 1	接触面
1 8 0、6 8 0	左ヒンジ機構部
1 9 0、6 9 0	右ヒンジ機構部
3 0 0、5 0 0	上部シャーシ
3 0 0 a	左接合部
3 0 0 b	右接合部
4 0 0、6 0 0	下部シャーシ
4 0 0 a	左接合部
4 0 0 b	右接合部
9 0 2	導体部材
9 0 3	同軸ケーブル

【書類名】 図面

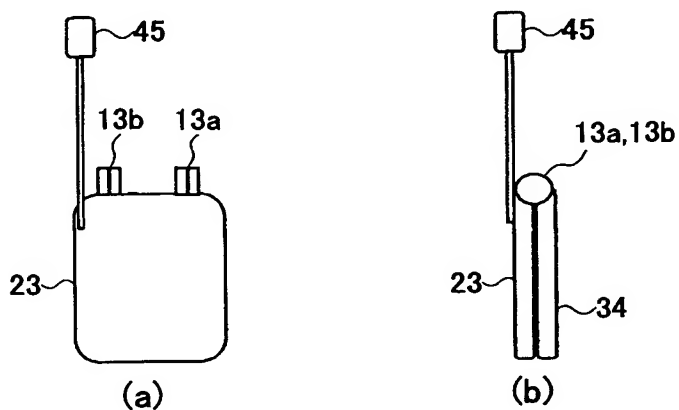
【図 1】

従来の折り畳み式携帯型電話機の分解斜視図



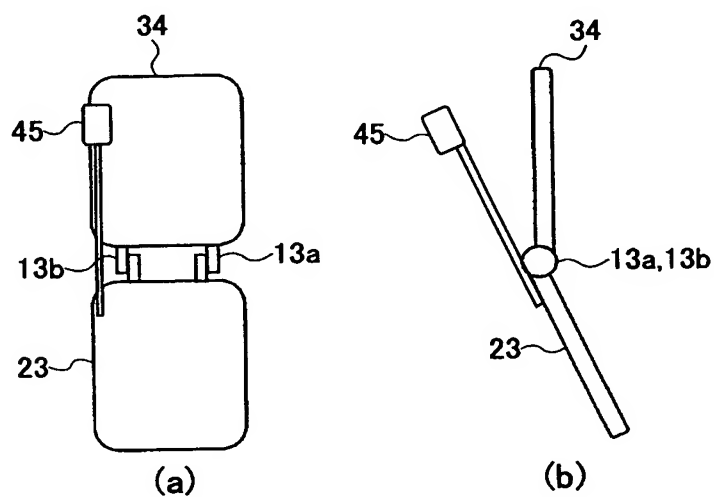
【図 2】

図 1 に示す従来の折り畳み式携帯型電話機 10 を閉じたときの
上部シャーシ 34 及び下部シャーシ 23 の状態を示す概略図



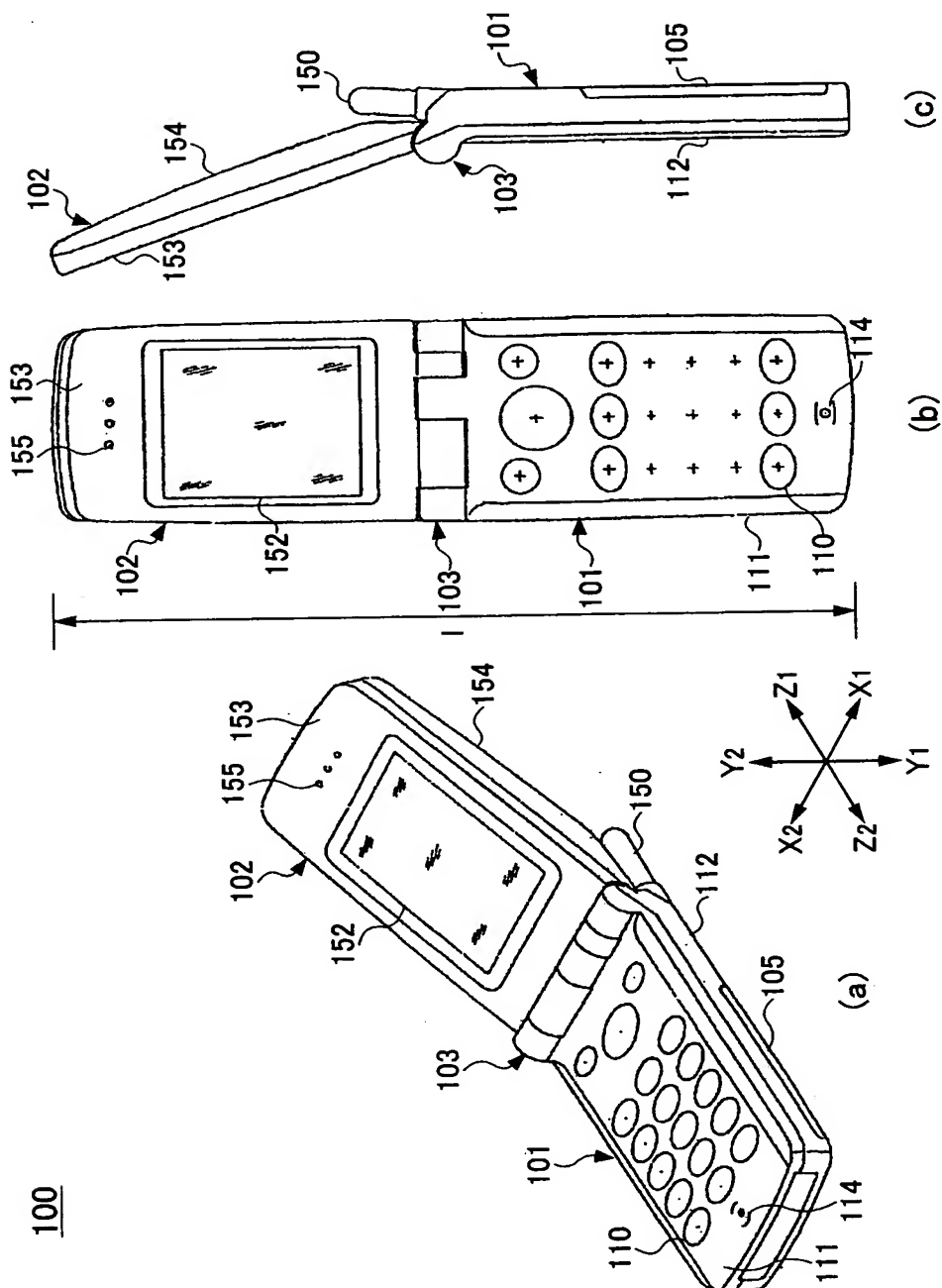
【図 3】

図 1 に示す従来の折り畳み式携帯型電話機 10 を開いたときの
上部シャーシ 34 及び下部シャーシ 23 の状態を示す概略図



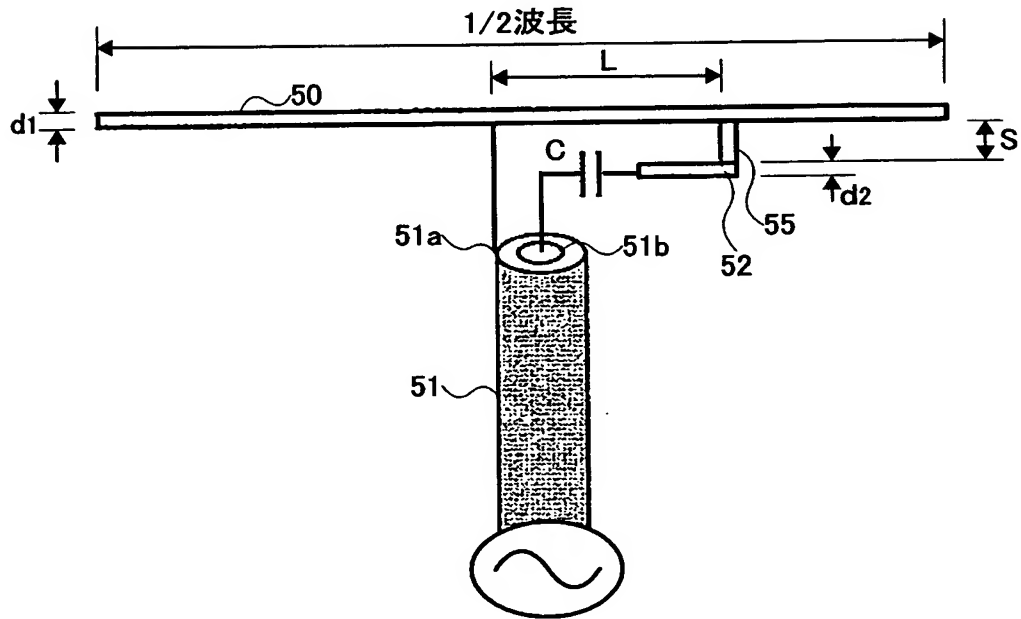
【図 4】

本発明の第 1 の実施形態に係る折り畳み式携帯型電話機 100
を開いた状態における外観を示す図



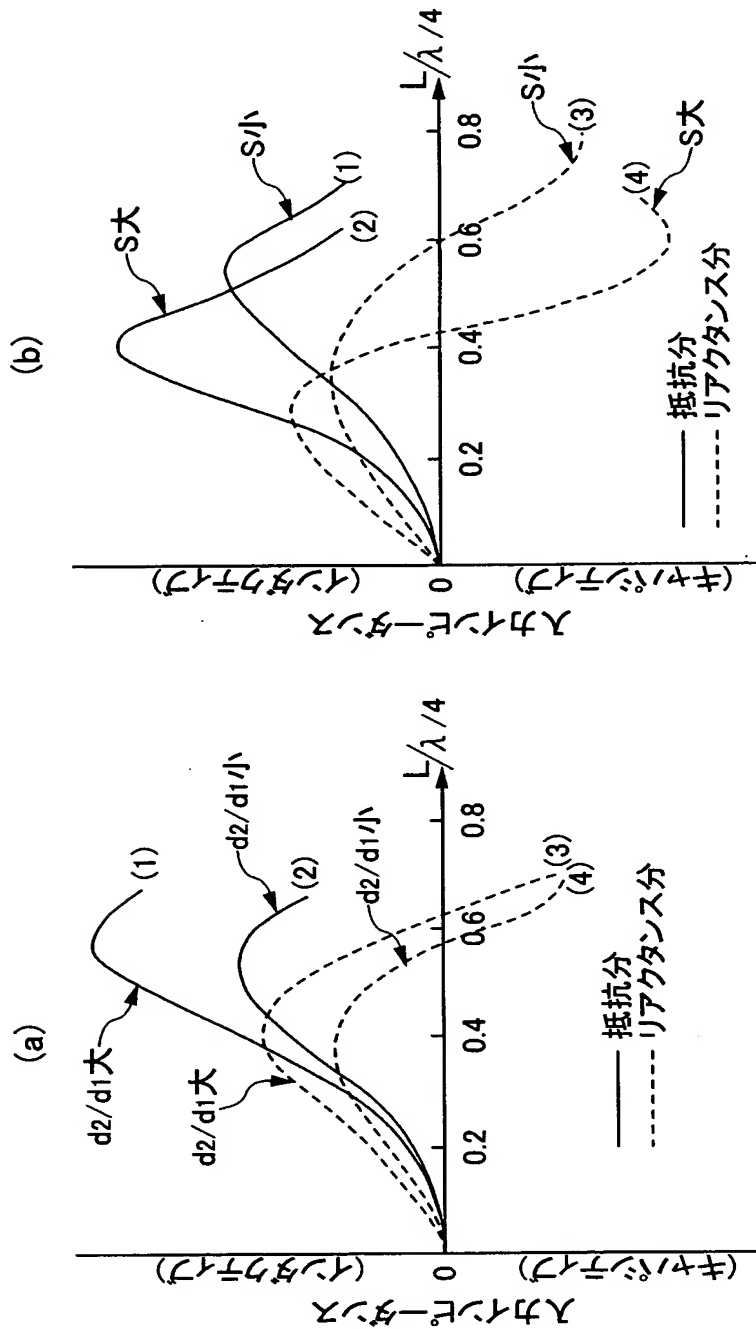
【図 5】

ガンマ整合を説明するための図



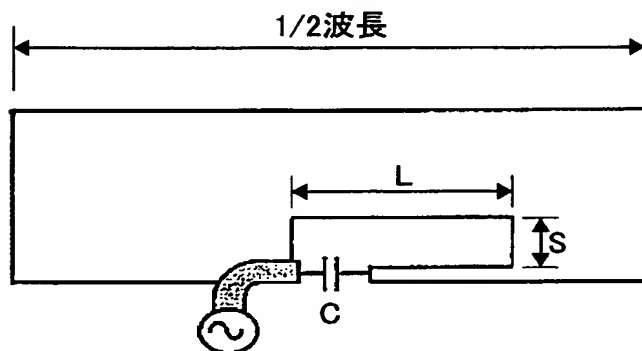
【図 6】

図 5 に示すガンマ整合における入力インピーダンスの変化の様子を示したグラフ



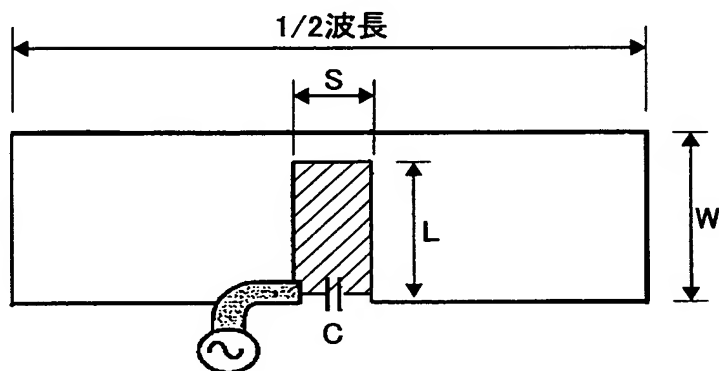
【図 7】

図 5 と等価であり、図 5 に示すガンマ整合の変形図



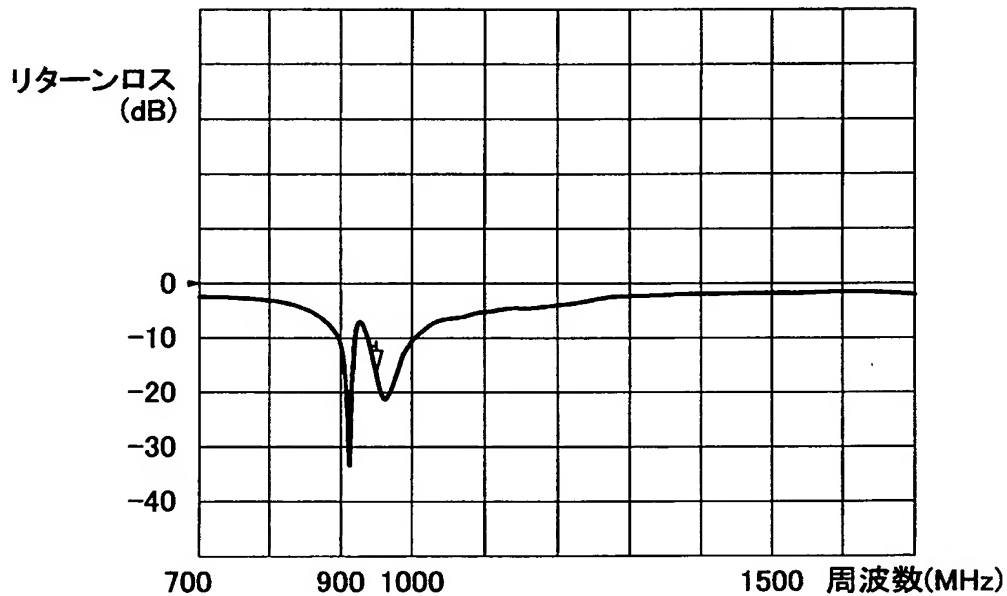
【図 8】

図 5 および図 7 と等価であり、図 7 に示すガンマ整合の変形図



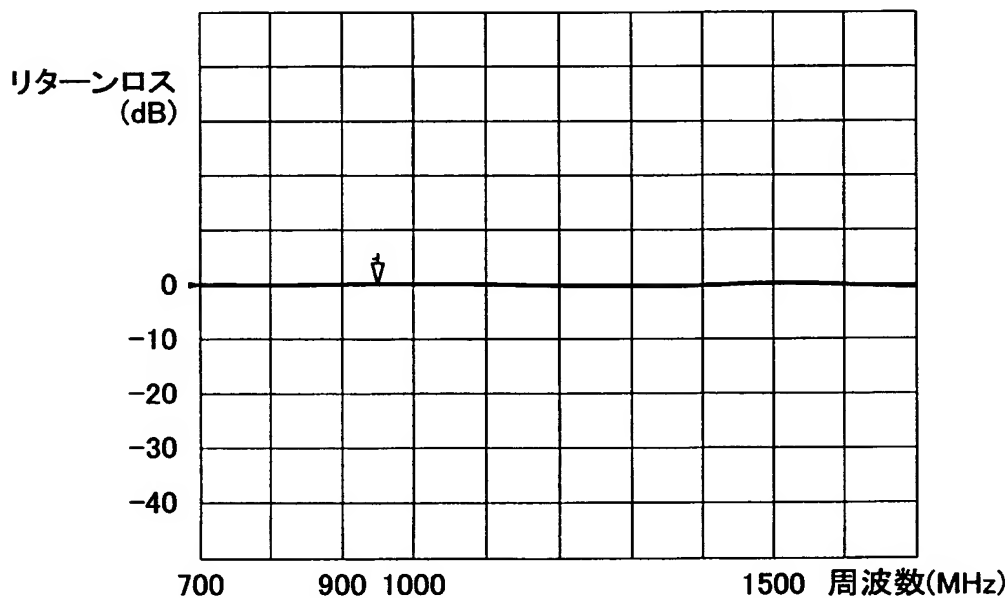
【図 9】

周波数が 900MHz 帯であって、表 1 に示す条件下でのインピーダンス特性を表したグラフ



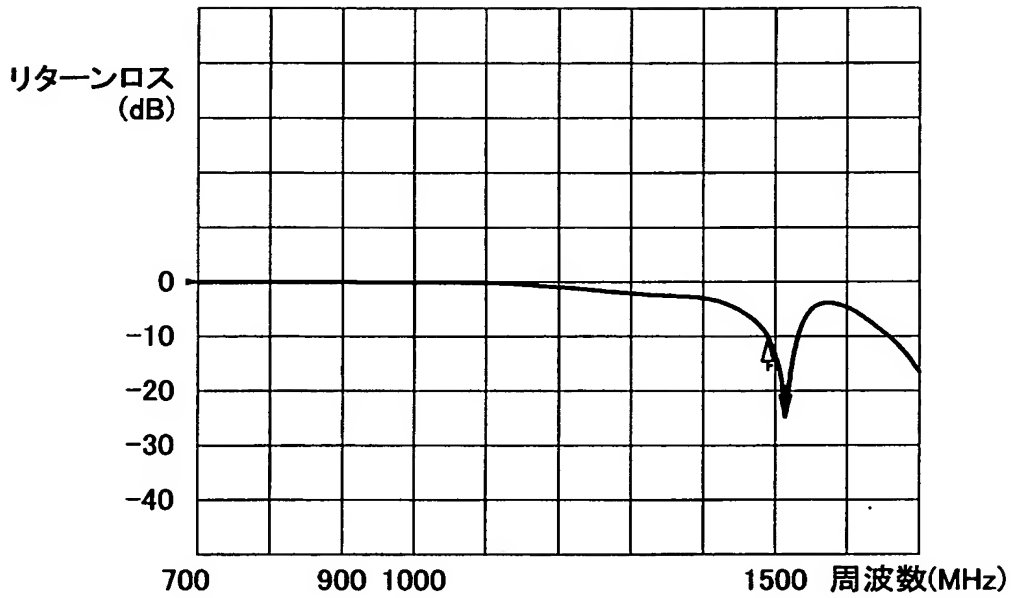
【図 10】

周波数が 900MHz 帯であって、表 1 に示す長さ L が 0 (ゼロ) の場合のインピーダンス特性を表したグラフ



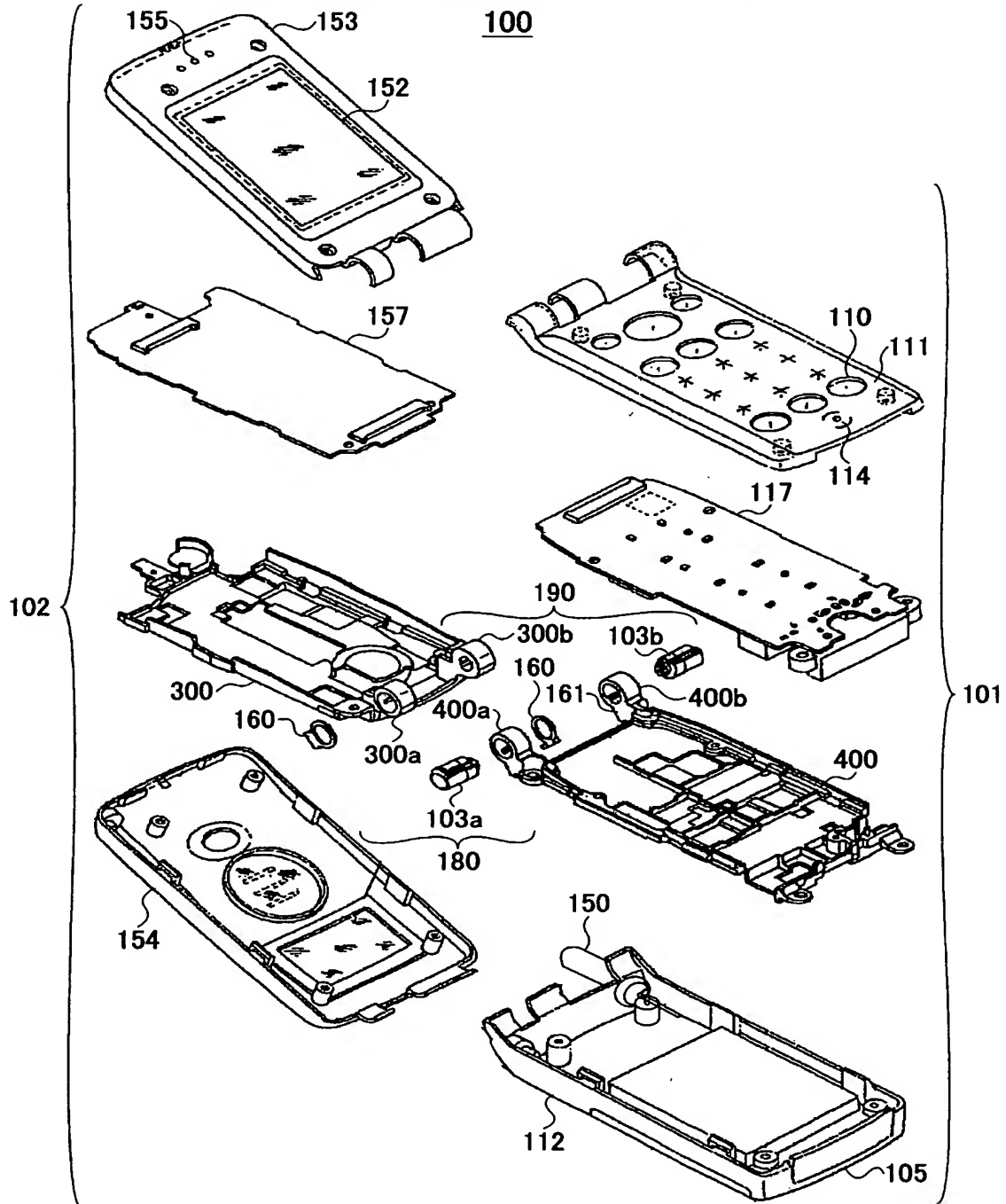
【図 11】

周波数が 1.5 GHz 帯であって、表 1 に示す条件下でのインピーダンス特性を表したグラフ



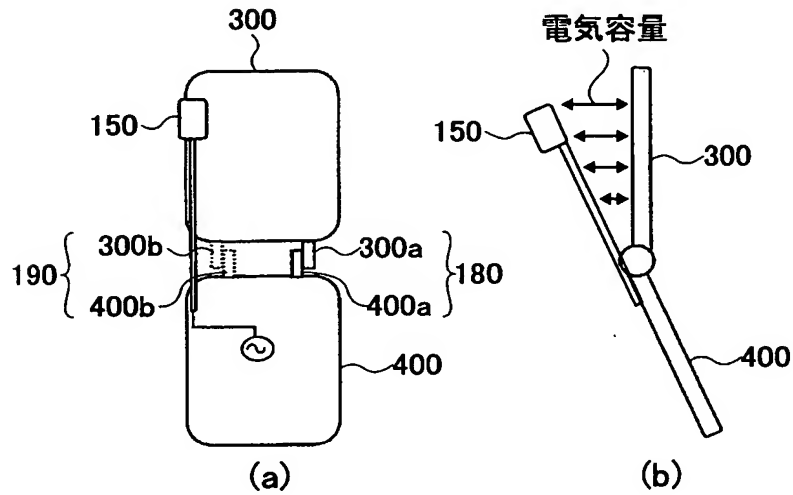
【図 12】

図 4 に示す本発明の第 1 の実施形態に係る
折り畳み式携帯型電話機 100 の分解斜視図



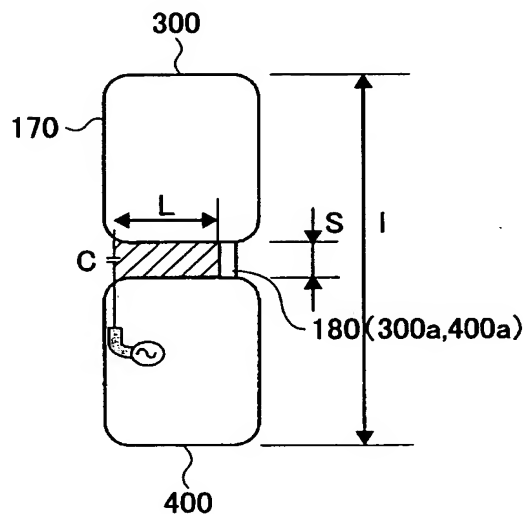
【図 1 3】

図 4 及び図 1 2 に示す折り畳み式携帯型電話機 100 を開いたときの上部シャーシ 300 及び下部シャーシ 400 の状態を示す概略図



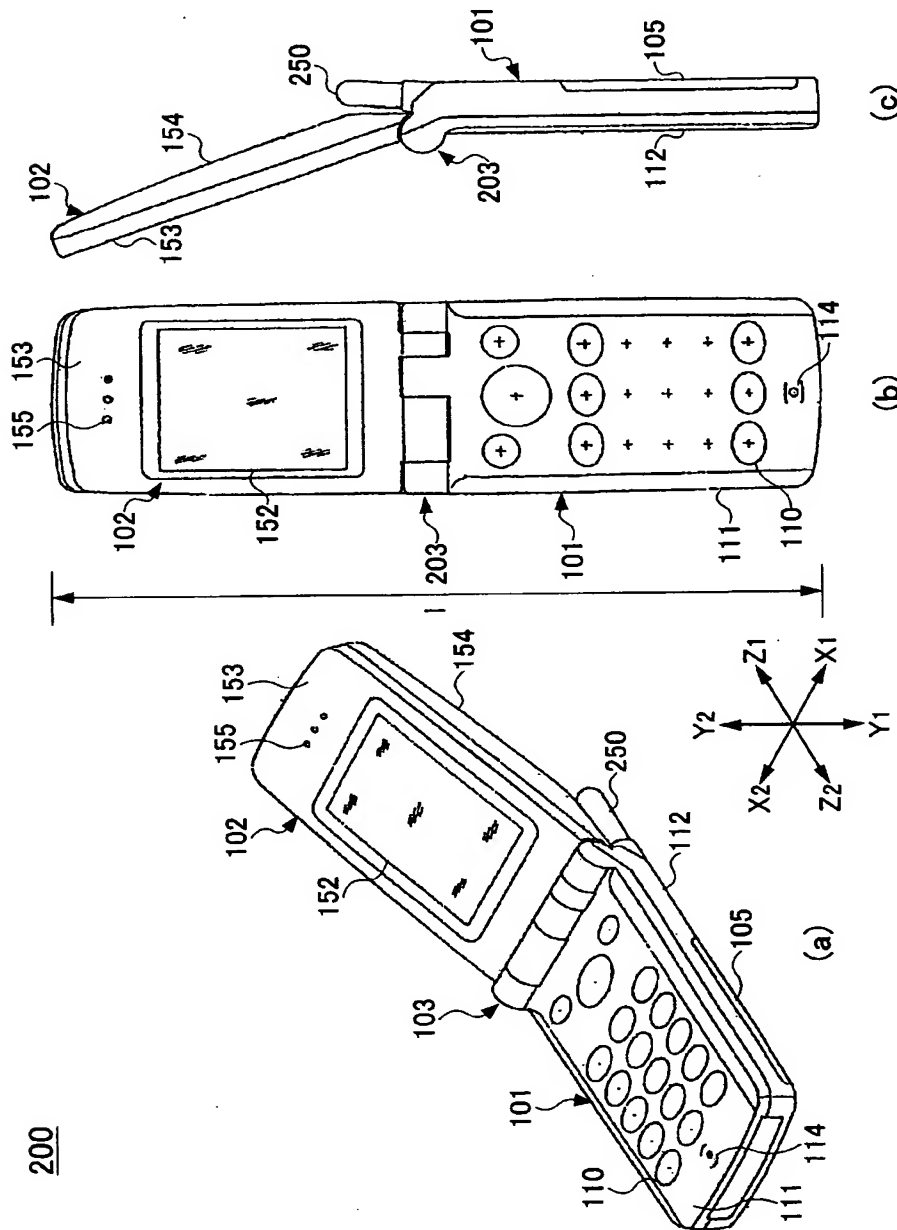
【図 1 4】

図 1 3 と等価であり、図 1 3 の変形図



【図 15】

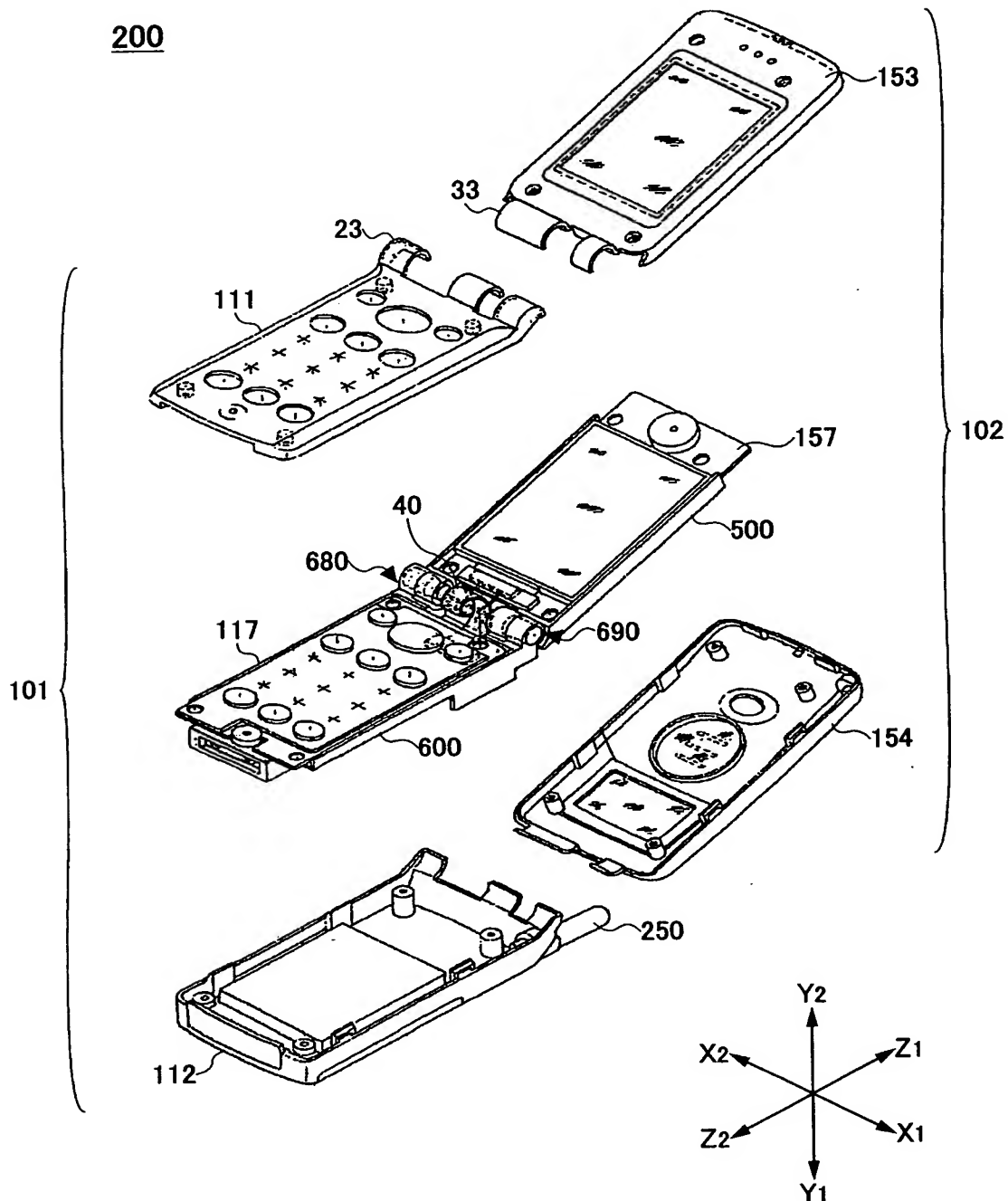
本発明の第2の実施形態に係る折り畳み式携帯型電話機200を開いた状態における外観を示す図



200

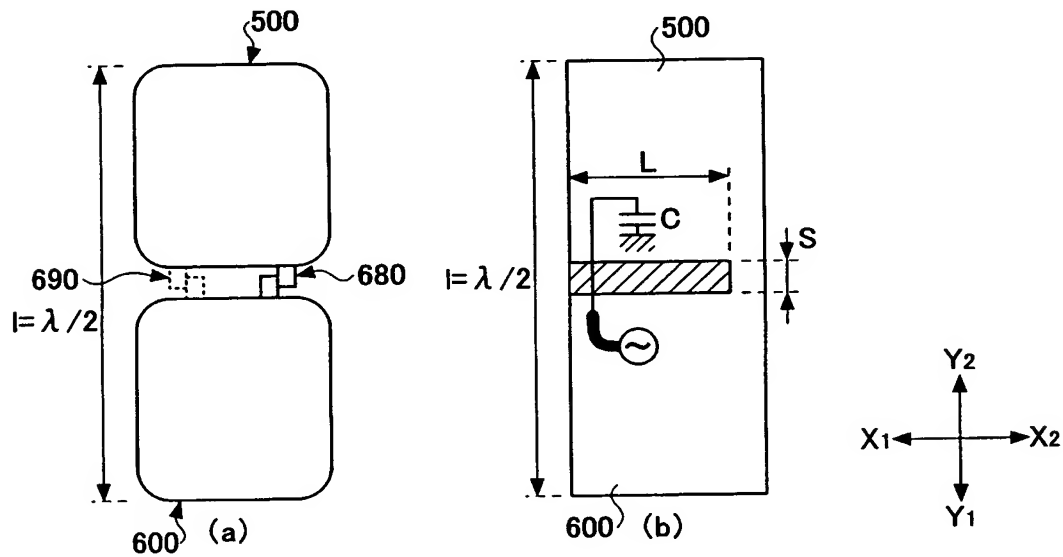
【図 16】

図15に示す折り畳み式携帯型電話機200の分解斜視図



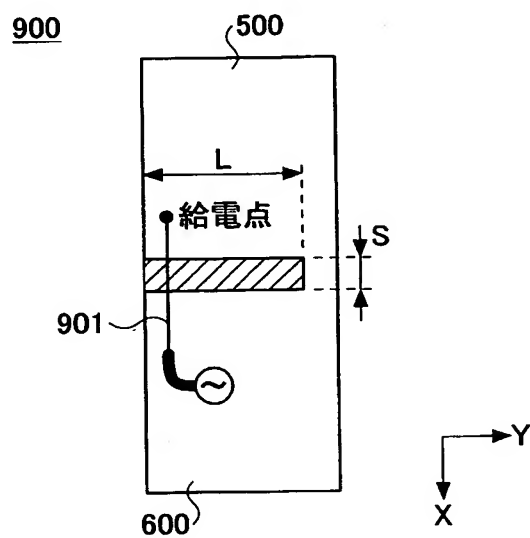
【図 17】

本発明の第2の実施形態に係る折り畳み式携帯型電話機200の
原理を説明するための図



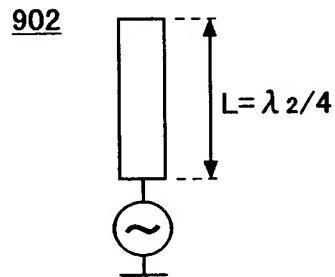
【図 18】

ノッチアンテナと共振周波数との関係を説明するための図



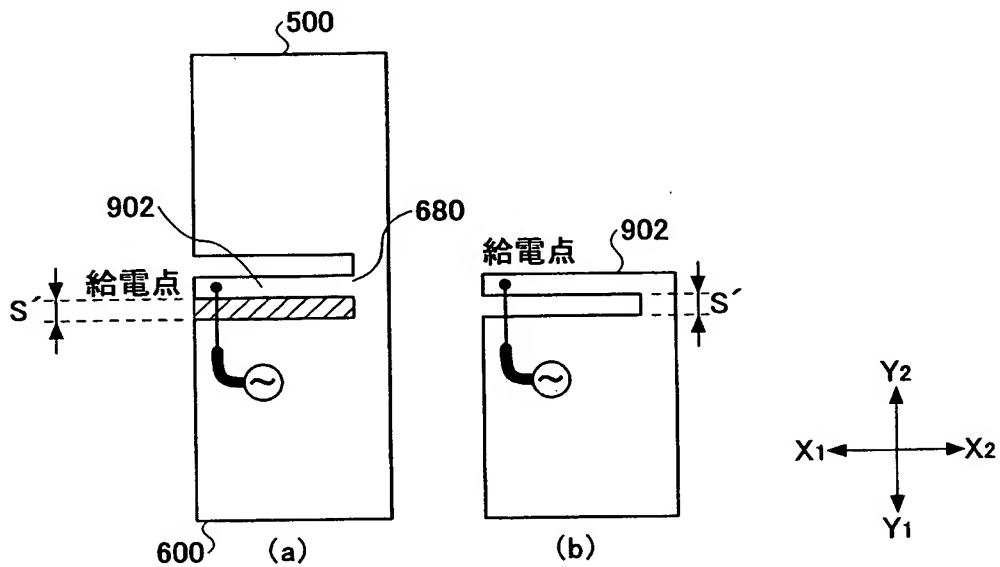
【図 19】

図18に示すノッチアンテナ900において、Exモードを採用した場合の、
図18と電氣的に等価な図



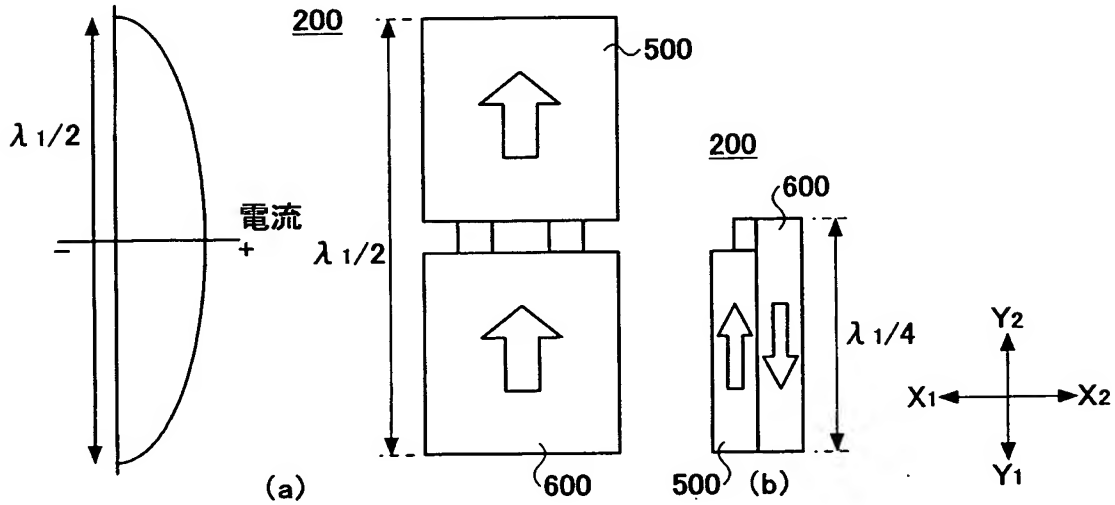
【図 20】

図17に示す左ヒンジ機構部680と右ヒンジ機構部690との間に
導体を設けた場合の電氣的状態を示す図



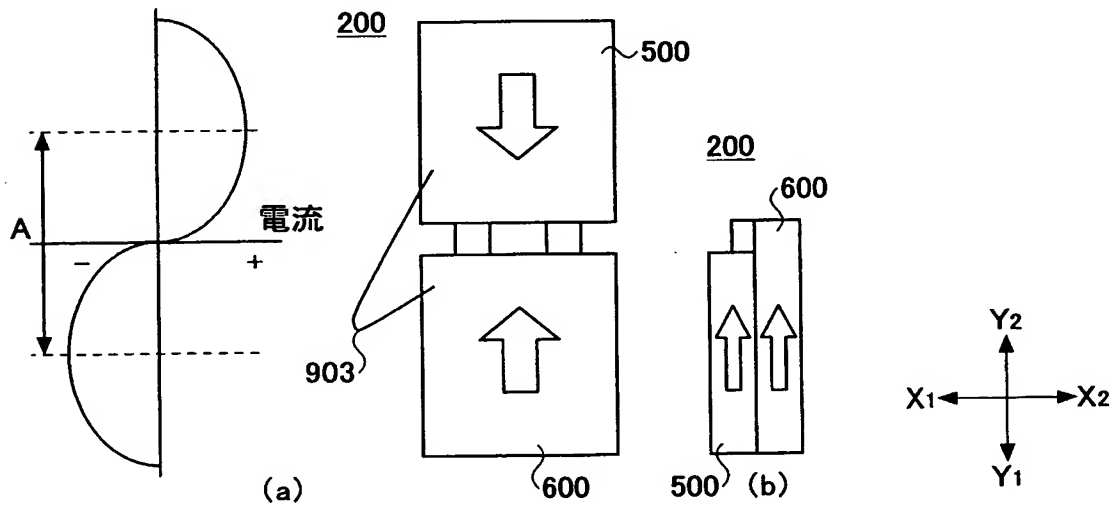
【図 2 1】

折り畳み式携帯型電話機200を折り畳んだ状態を示した図



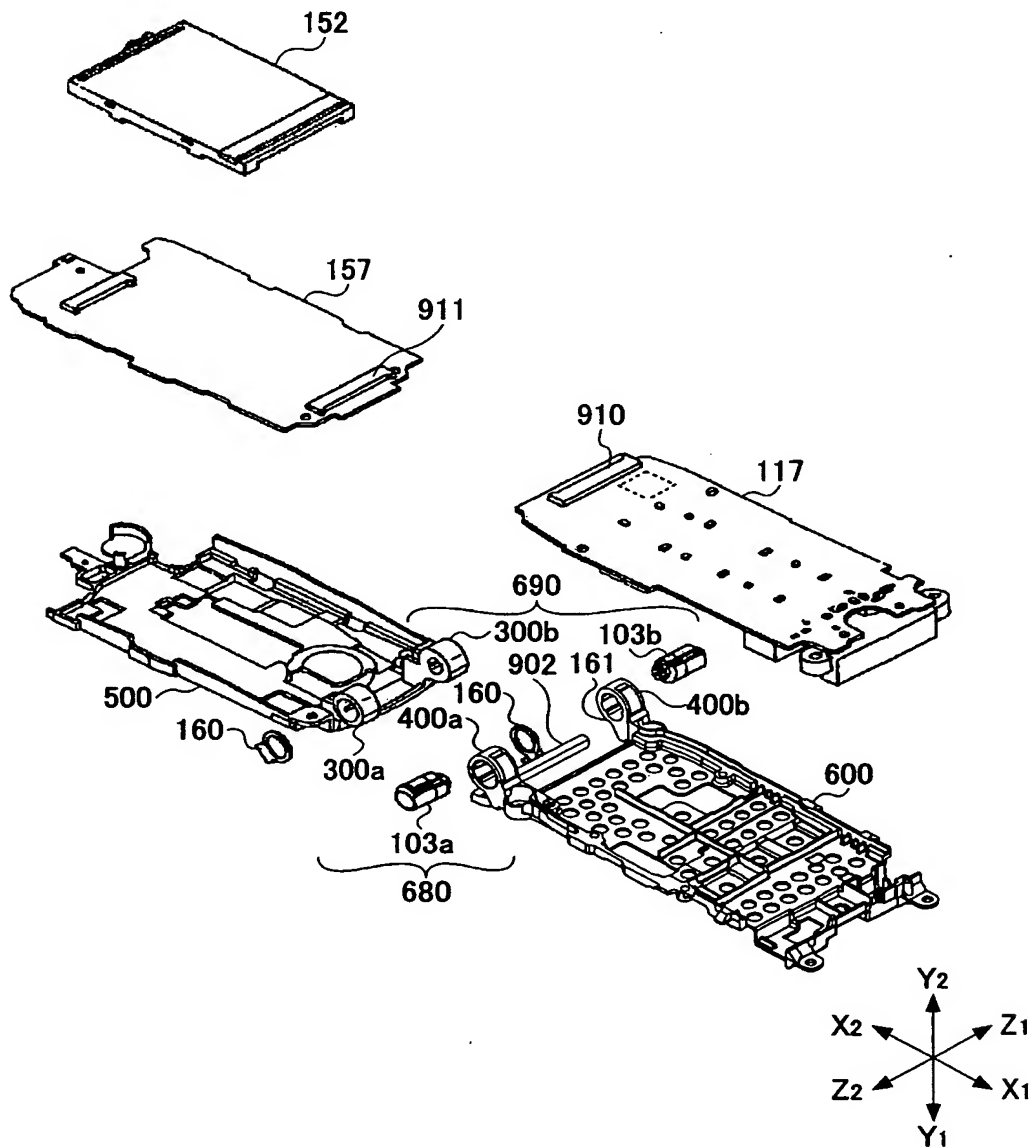
【図 2 2】

上部シャーシ500と下部シャーシ600を同軸ケーブル903で結線した場合の折り畳み式携帯型電話機200を表した図



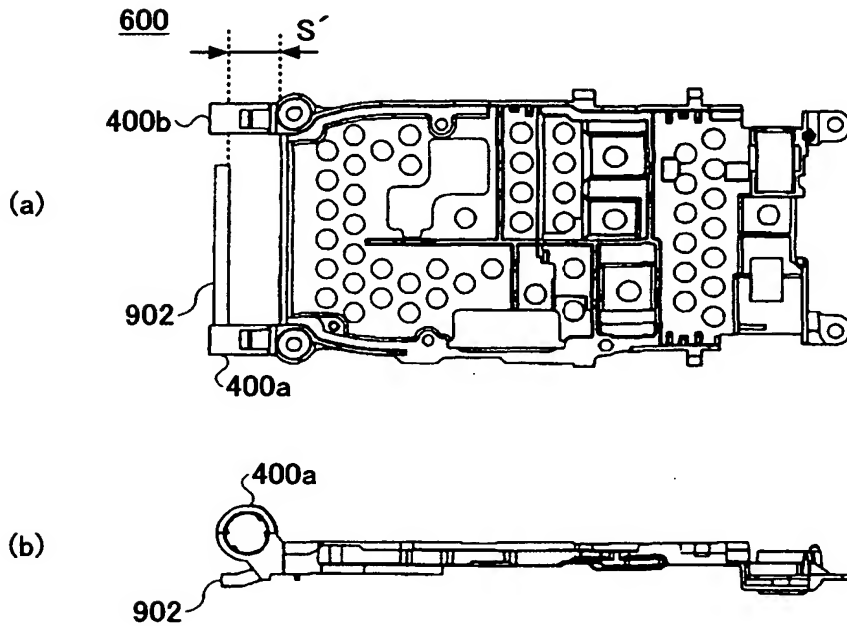
【図 23】

本発明の第2の実施形態の折り畳み式携帯型電話機200の
上部シャーシ500及び下部シャーシ600の分解斜視図



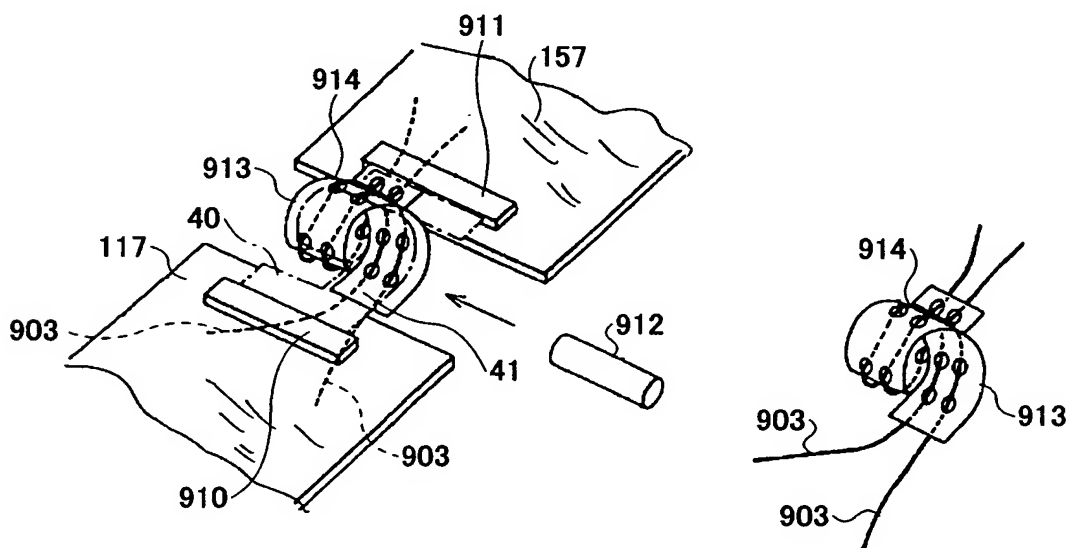
【図 24】

図23に示される下部シャーシ600を示す図



【図 25】

フレキシブルプリント基板40及びその近傍の第1の構造を示す斜視図



【書類名】 要約書

【要約】

【課題】 折り畳み式携帯型無線機であって、簡易な構造で効率よく電波を放射および吸収することを可能とし、高品質の通話や多機能化した通信等に対応できる当該無線機および当該無線機に使用されるシャーシを提供する。

【解決手段】 折り畳み式携帯型無線機は、第 1 シャーシと、前記第 1 シャーシが折り畳み可能に連結される第 2 シャーシとから成るシャーシ部を備えた折り畳み式携帯型無線機において、前記シャーシ部は、導電性を有し全長が当該無線機の使用周波数の略半波長 ($\lambda/2$) である導体部と、電氣的ノッチとを含む。

【選択図】 図 1 2

特願 2 0 0 3 - 0 9 2 8 5 8

出 願 人 履 歴 情 報

識別番号

[0 0 0 0 0 5 2 2 3]

1. 変更年月日
[変更理由]
住 所
氏 名

1 9 9 0 年 8 月 2 4 日
新規登録
神奈川県川崎市中原区上小田中 1 0 1 5 番地
富士通株式会社

2. 変更年月日
[変更理由]
住 所
氏 名

1 9 9 6 年 3 月 2 6 日
住所変更
神奈川県川崎市中原区上小田中 4 丁目 1 番 1 号
富士通株式会社